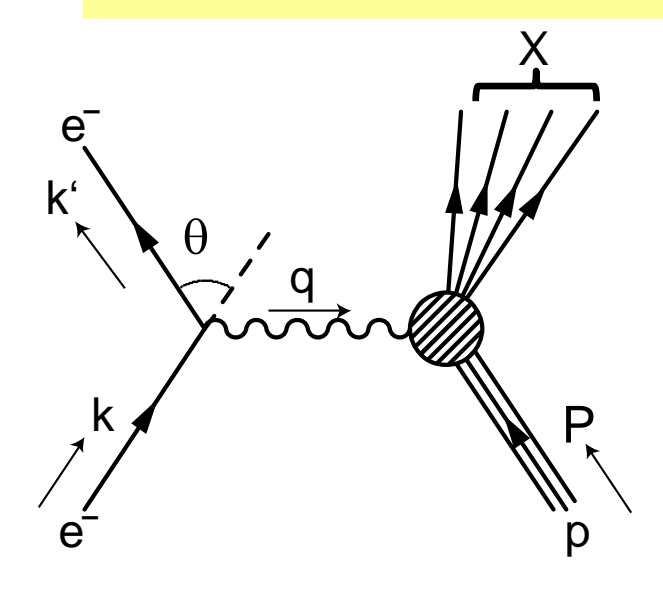
Formfaktoren, Strukturfunktionen, tiefinelastische Streuung, Partonmodell



$$e^- + p \rightarrow e^- + X$$

(z.B. im Labor: $P = (m_p, 0, 0, 0)$

$$q \equiv (k - k'), \quad k' = (E', k')$$

Lorentz-Invariante:

$$Q^{2} = -q^{2}, \qquad v = (E - E') = \frac{q \cdot P}{m_{p}}$$

d.h: Energie E' und θ reichen aus um den aus laufenden Vierer-Impuls zu beschreiben

Für $Q^2 \to \infty \implies \nu \to \infty$ Streuzentrum wird zum Punkt (knock-on Reaktion)

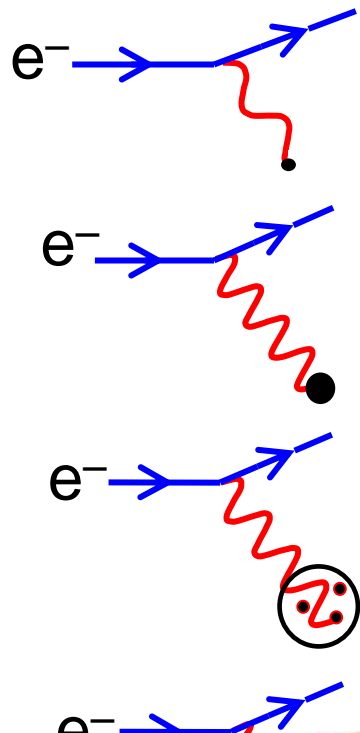
Bjorken-x Variable:
$$x = \frac{Q^2}{2m_p \cdot v} = \frac{Q^2}{2q \cdot P} = \frac{Q^2}{2q} \text{ pro } P$$

Gleich dem auf das Streuzentrum übertragenen Impuls pro Gesamtimpuls, oder der Impulsanteil des Streuzentrums im Proton (= 1 bei elast. Streuung).

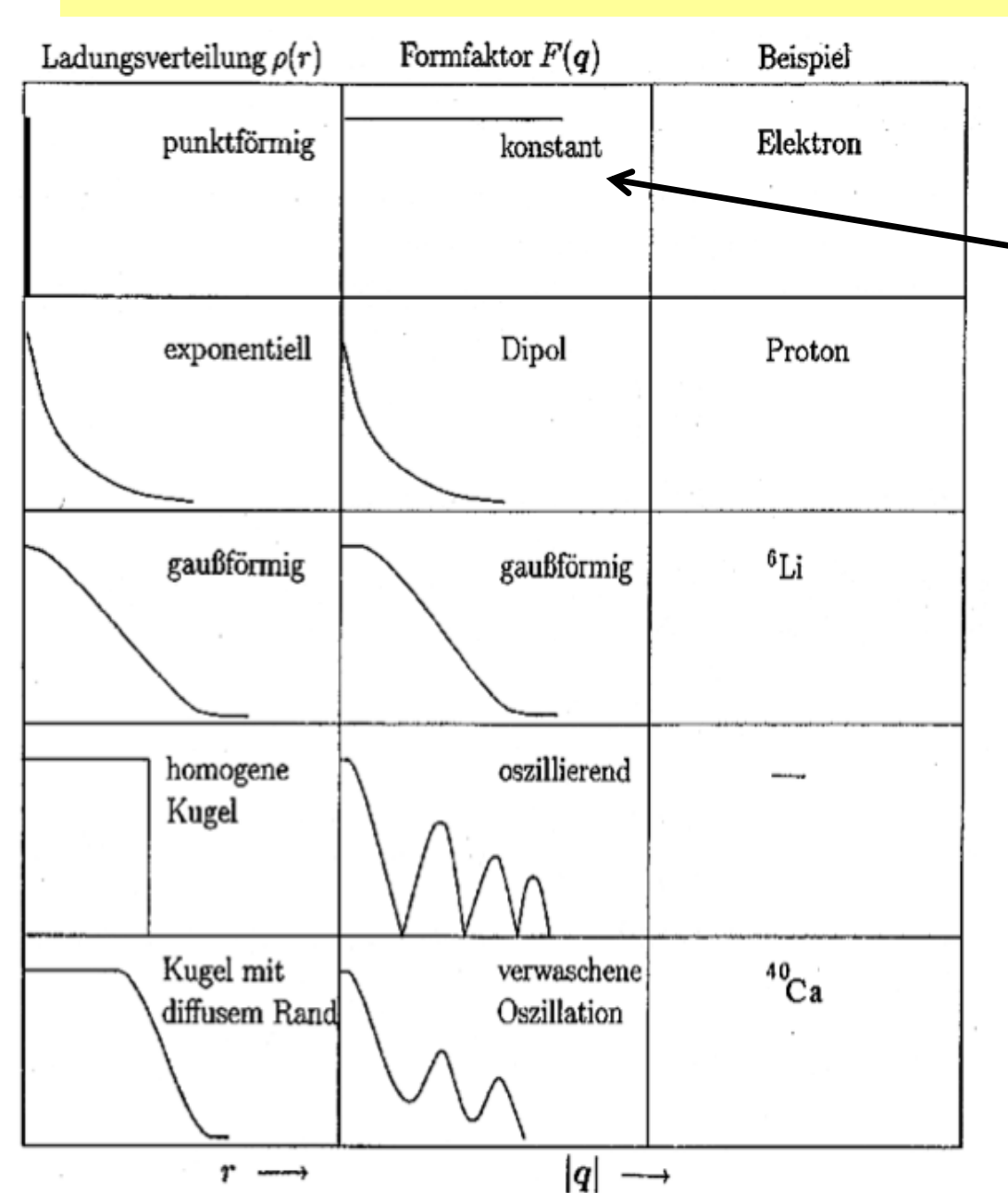
e-p Streuung

In der ep → ep Streuung ist die Struktur der WW des virtuellen Photons mit dem Proton abhängig von der Wellenlänge

- At very low electron energies $\lambda\gg r_p$ the scattering is equivalent to that from a "point-like" spin-less object
- At low electron energies $\lambda \sim r_p$ the scattering is equivalent to that from a extended charged object
- At high electron energies $\lambda < r_p$: the wavelength is sufficiently short to resolve sub-structure. Scattering from constituent quarks
- At very high electron energies $\lambda \ll r_p$ the proton appears to be a sea of quarks (and gluons though electrons don't see them).



Ladungsverteilung & Formfaktor

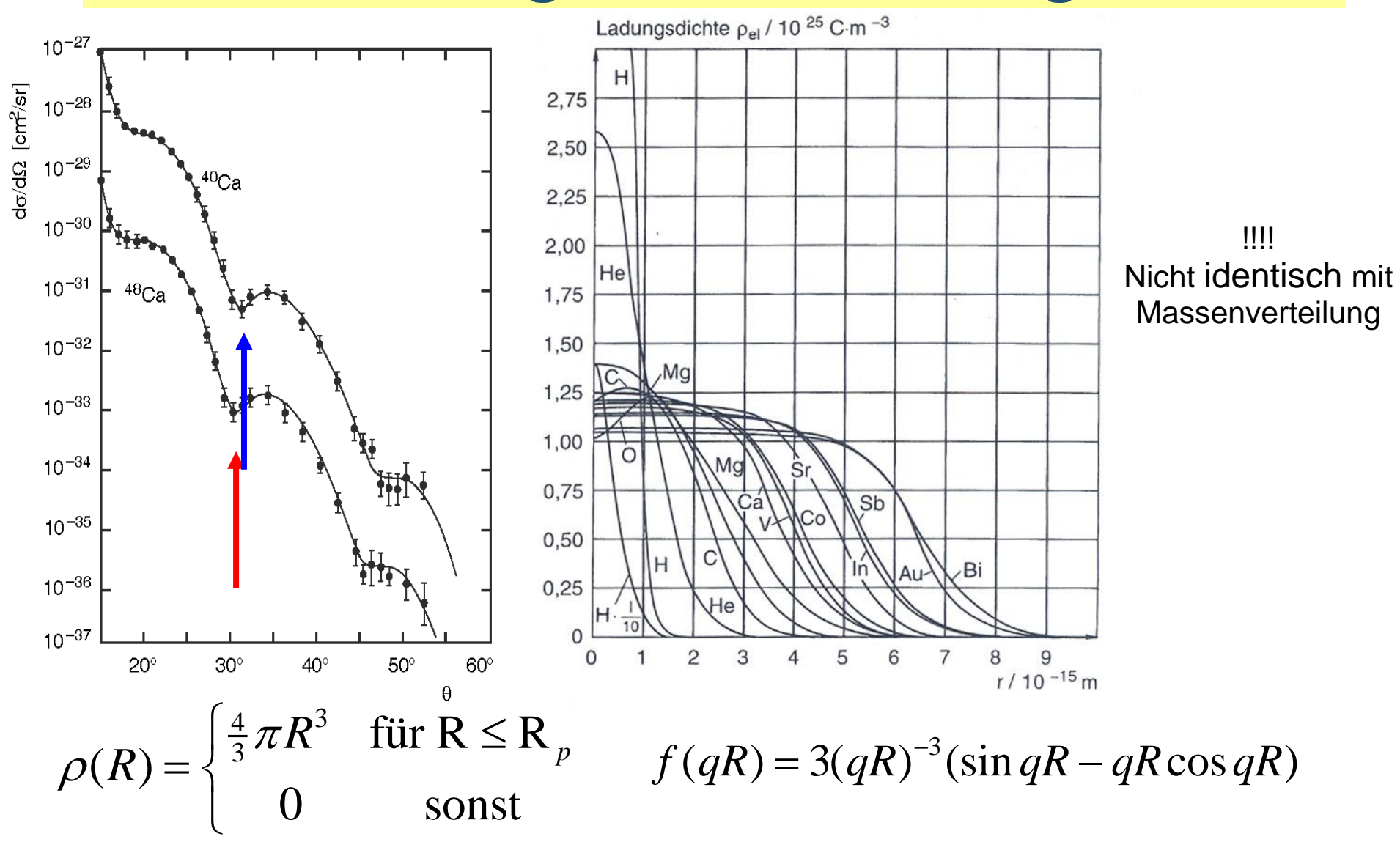


das wird später wichtig

F(q) ist Fouriertransformierte von $\rho(r)$

- im Fall der Ladungsvtlg
- oder im Fall der Massenvtlg
- oder generell von der Struktur des Streuzentrums

Radiale Ladungsdichteverteilungen



(Hinweis: bei konstantem qR sind die Minima alle "aligned")

Elementare Wirkungsquerschnitte

$$\left(\frac{d\sigma}{d\Omega}\right)_{Ruth} = \left(\frac{Z_1 Z_2 \alpha}{4E}\right)^2 \frac{1}{\sin^4(\Theta/2)}$$

Proj. Spin 0, Punkt-Teilchen, $m_T = \infty$

$$\left(\frac{d\sigma}{d\Omega}\right)_{\text{max}} = \left(\frac{d\sigma}{d\Omega}\right)_{\text{max}} \frac{E'}{E} \left[1 - \beta^2 \sin^2(\Theta/2)\right]$$

Proj. Spin 1/2, Punkt-Teilchen, m_T endl. Target-Spin 0

$$\left(\frac{d\sigma}{d\Omega}\right)_{\text{total}} = \left(\frac{d\sigma}{d\Omega}\right)_{\text{total}} \left|F(Q^2)\right|^2$$

Proj. Spin 1/2, ausged. Teilchen, m_T endl. Target-Spin 0

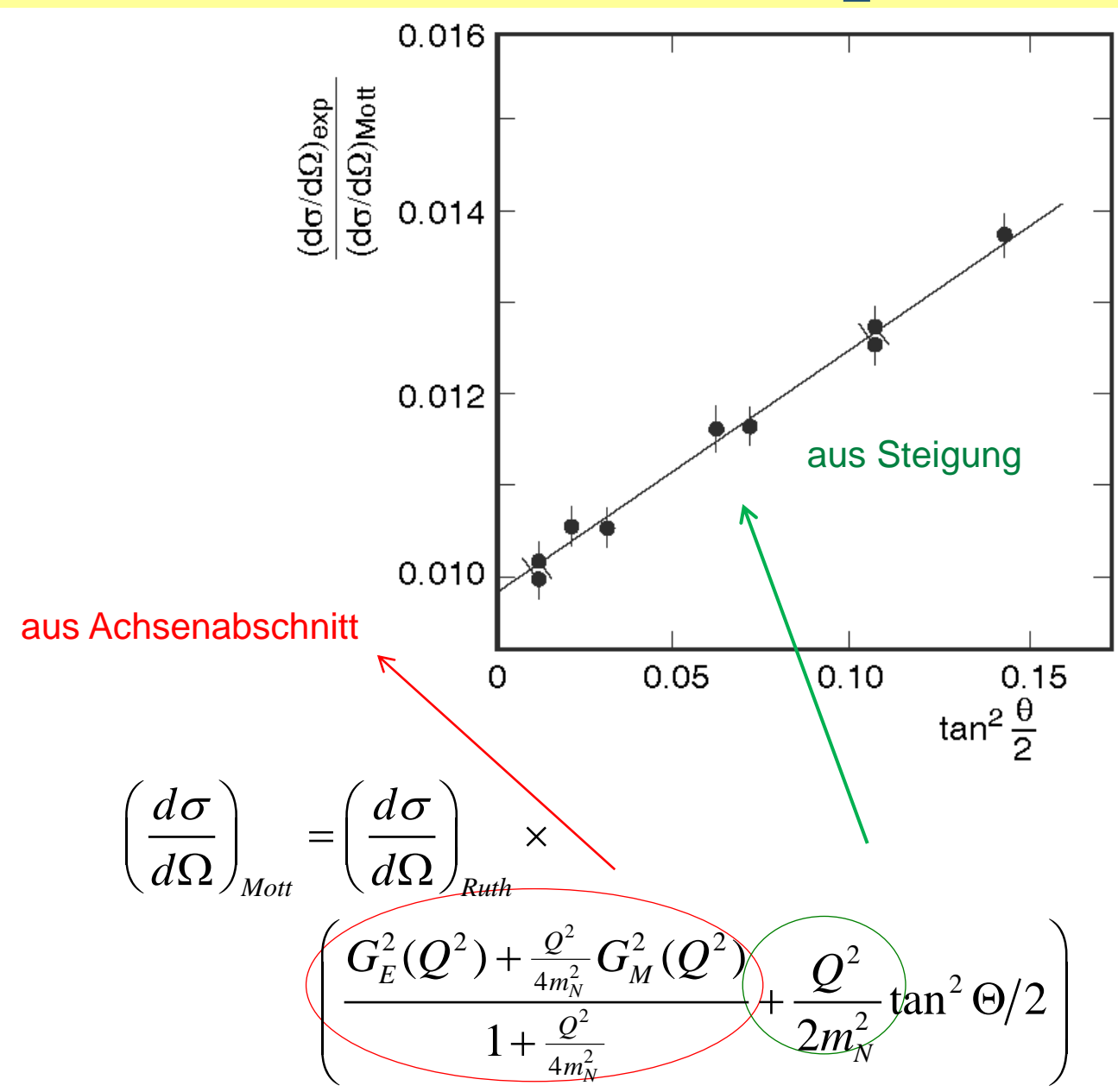
$$\left(\frac{d\sigma}{d\Omega}\right)_{Mott} = \left(\frac{d\sigma}{d\Omega}\right)_{Ruth} \left(1 + \frac{Q^2}{2m_N^2} \tan^2 \Theta/2\right)$$

elast. Streuung Proj. Spin 1/2, Punkt-Teilchen, m_T endl. Target-Spin ½ (Nukleon)

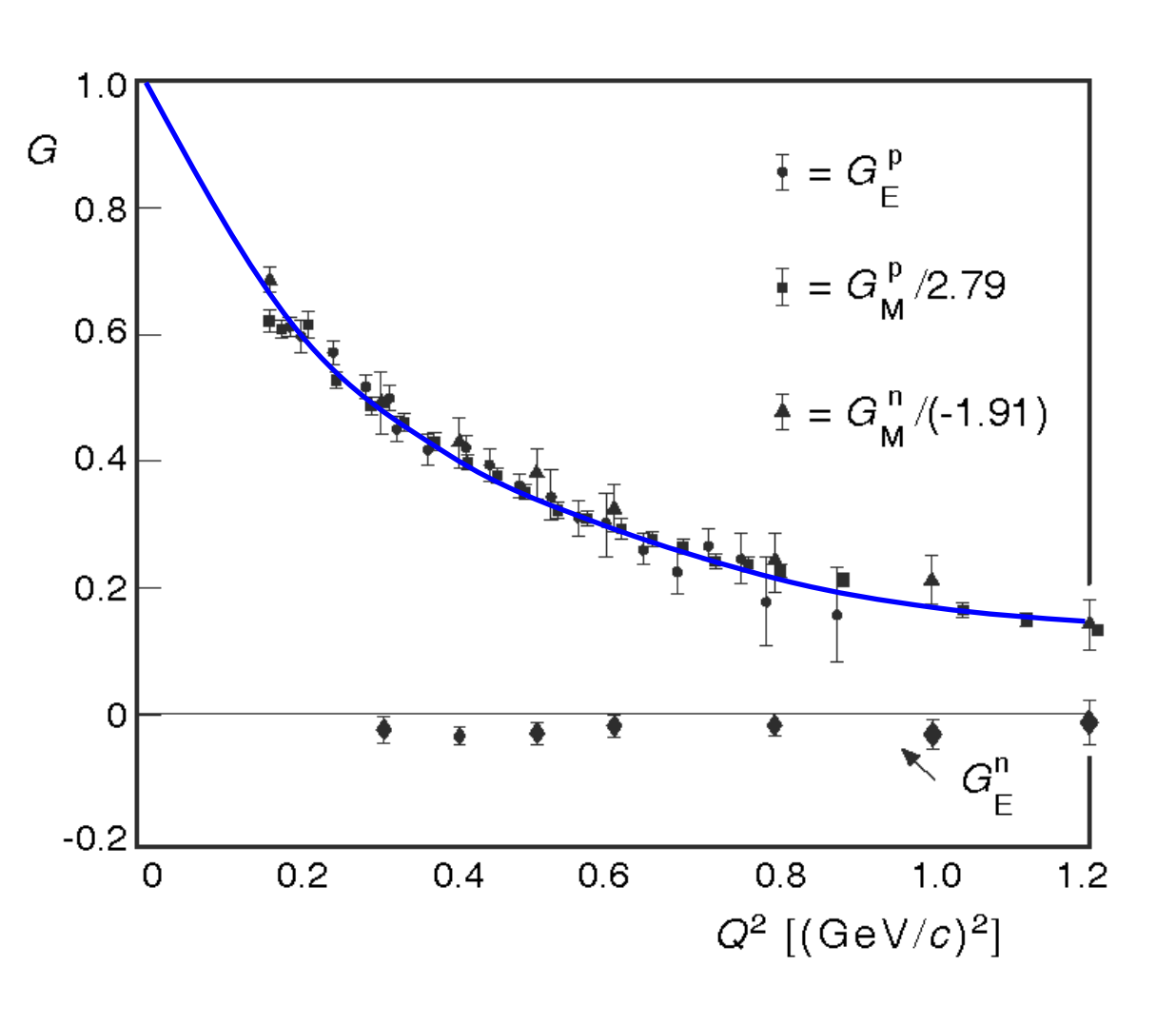
$$\left(\frac{d\sigma}{d\Omega}\right)_{Mott} = \left(\frac{d\sigma}{d\Omega}\right)_{Ruth} \times \left(\frac{G_E^2(Q^2) + \frac{Q^2}{4m_N^2}G_M^2(Q^2)}{1 + \frac{Q^2}{2m_N^2} + \frac{Q^2}{2m_N^2} \tan^2\Theta/2}\right)$$

ausgedehnte Nukleonen (magn. & elektr. Formfaktoren G_F und G_M)

Bestimmung von $G_E(Q^2)$ und $G_M(Q^2)$



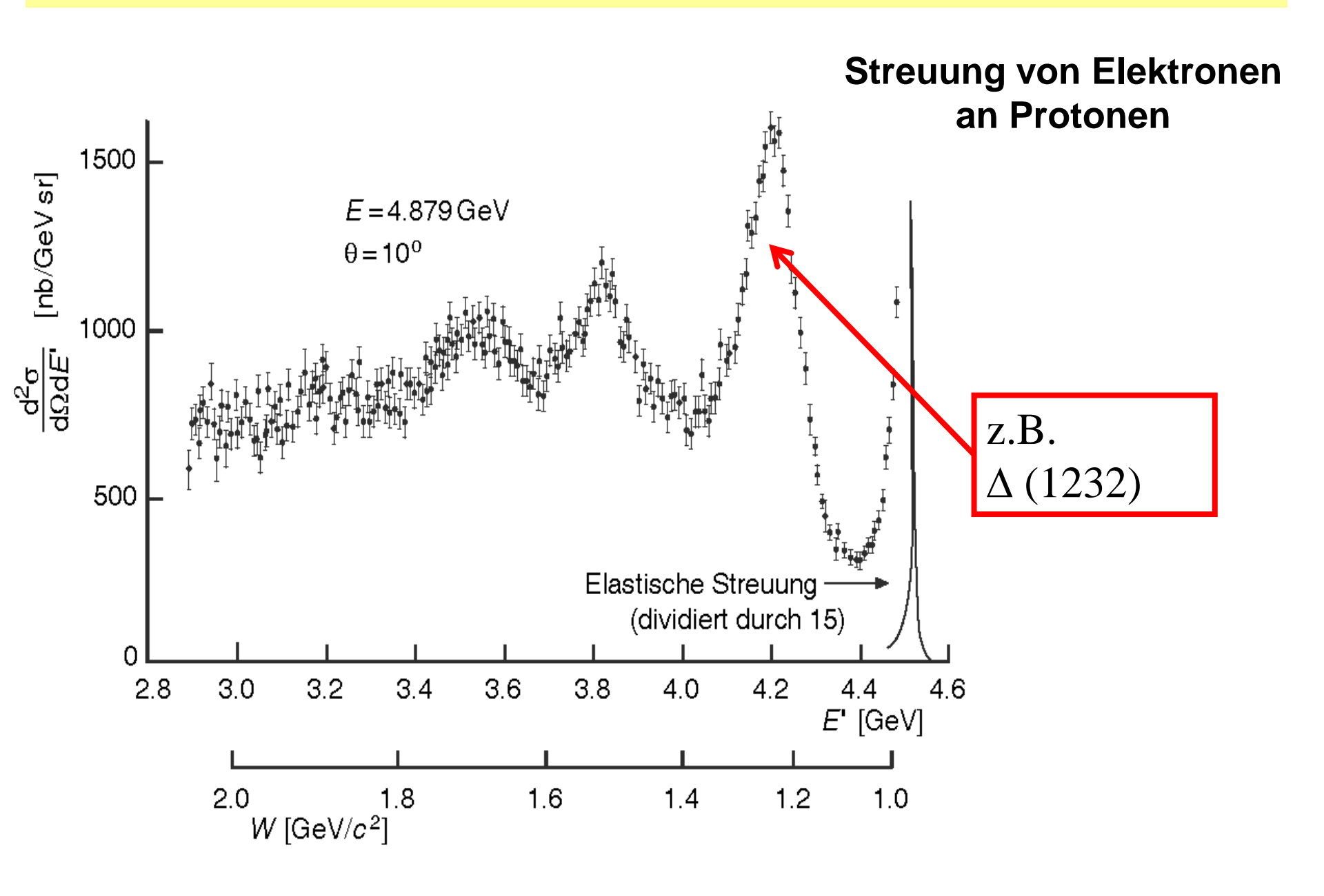
Formfaktor des Nukleons



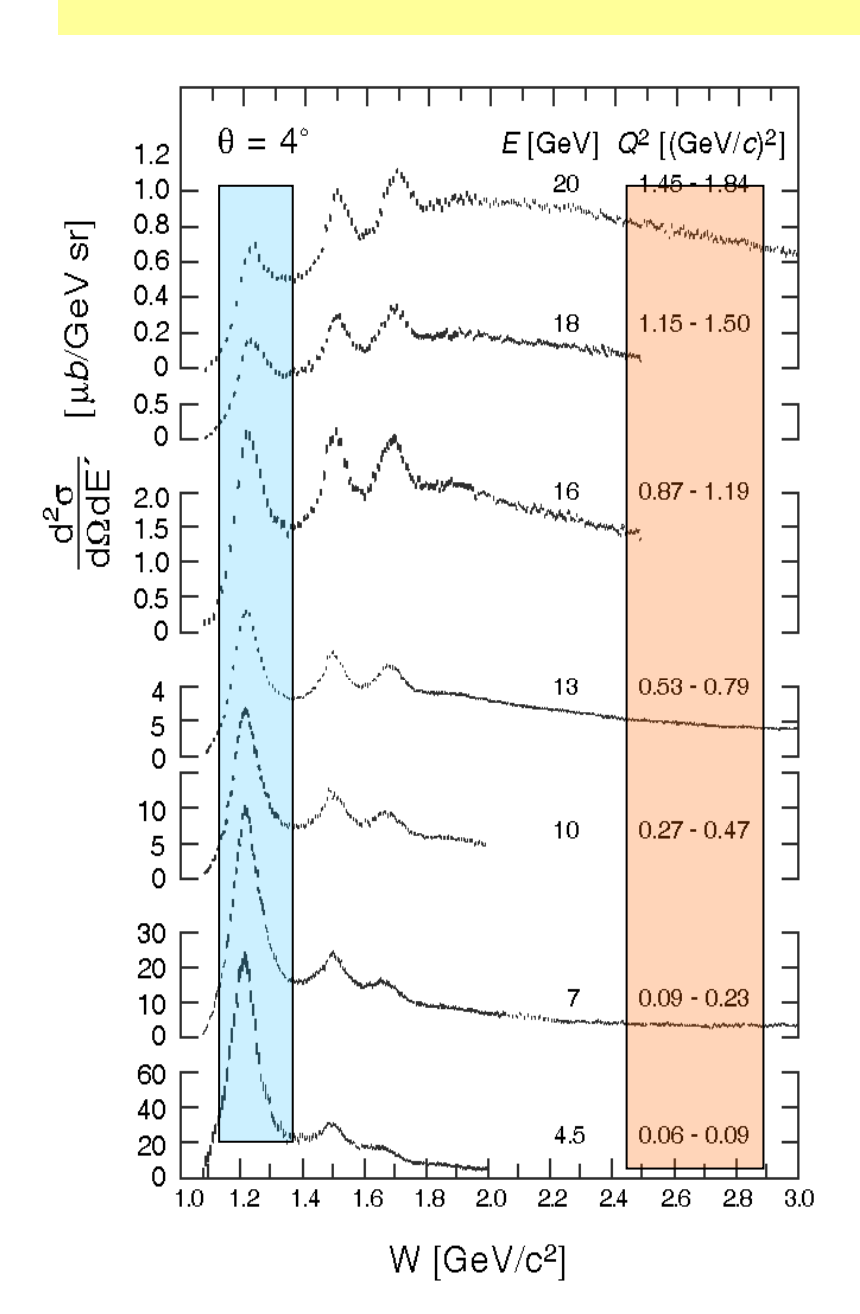
G kann in einer Dipol-Form Parametrisierung angegeben werden (fast modellunabhängig)

$$\frac{1}{\underset{\stackrel{\leftarrow}{0.71}}{}^{\cancel{2}}} + \frac{Q^2 \overset{\stackrel{\rightarrow}{0}^2}{}^{\cancel{2}}}{0.71} \overset{\stackrel{\rightarrow}{0}}{\cancel{0}}$$

Angeregte Nukleonenzustände



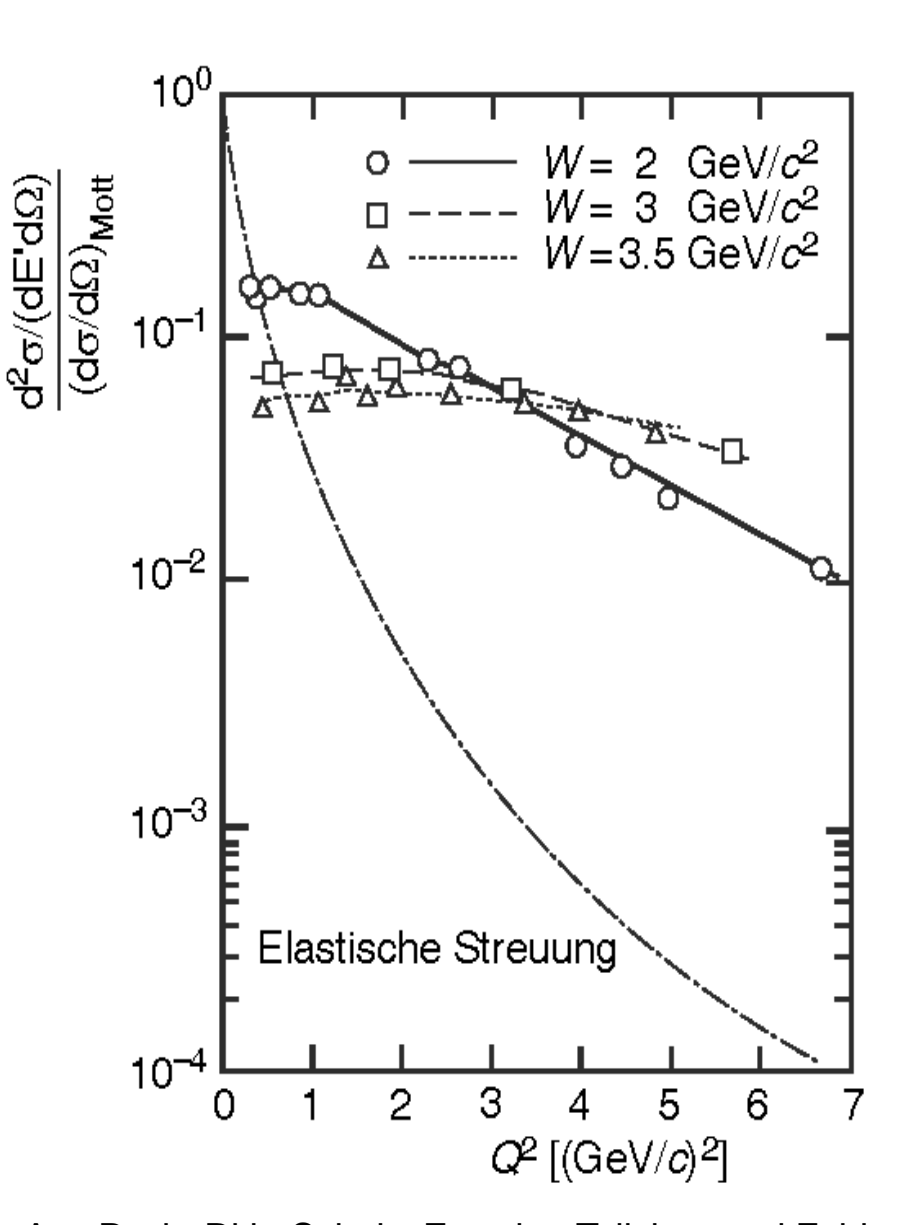
Tiefinelastische e-p-Streuung



mit zunehmendem Q² nimmt Stärke der Δ-Resonanz stark ab

mit zunehmendem Q² bleibt Stärke des Kontinuums im Wesentlichen konstant

Q²-Abhängigkeit der tiefinelastischen Streuung



Q² -Abhängigkeit der elastischen Streuung

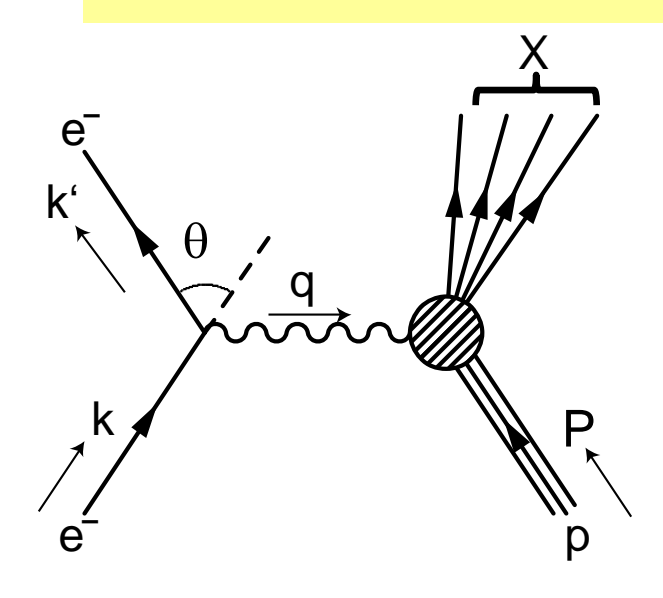
mit wachsender invarianter Masse des Kontinuums wird Q²-Anhängigkeit immer schwächer

Hinweis:

- auf Streuung an punktförmigen Objekten
- quasi-frei

Aus Povh, Rith, Scholz, Zetsche, Teilchen und Felder

Formfaktoren, Strukturfunktionen, tiefinelastische Streuung, Partonmodell



$$e^- + p \rightarrow e^- + X$$

(z.B. im Labor: $P = (m_p, 0, 0, 0)$

$$q \equiv (k - k'), \quad k' = (E', k')$$

Lorentz-Invariante:

$$Q^{2} = -q^{2}, \qquad v = (E - E') = \frac{q \cdot P}{m_{p}}$$

d.h: Energie E' und θ reichen aus um den aus laufenden Vierer-Impuls zu beschreiben

Für $Q^2 \to \infty \implies \nu \to \infty$ Streuzentrum wird zum Punkt (knock-on Reaktion)

Bjorken-x Variable:
$$x = \frac{Q^2}{2m_p \cdot v} = \frac{Q^2}{2q \cdot P} = \frac{Q^2}{2q} \text{ pro } P$$

Gleich dem auf das Streuzentrum übertragenen Impuls pro Gesamtimpuls, oder der Impulsanteil des Streuzentrums im Proton (= 1 bei elast. Streuung).

Quark-Parton-Modell

Quark-Partonmodell:

elastische Streuung an einem punktförmigen Quark im Proton (Nukleon)

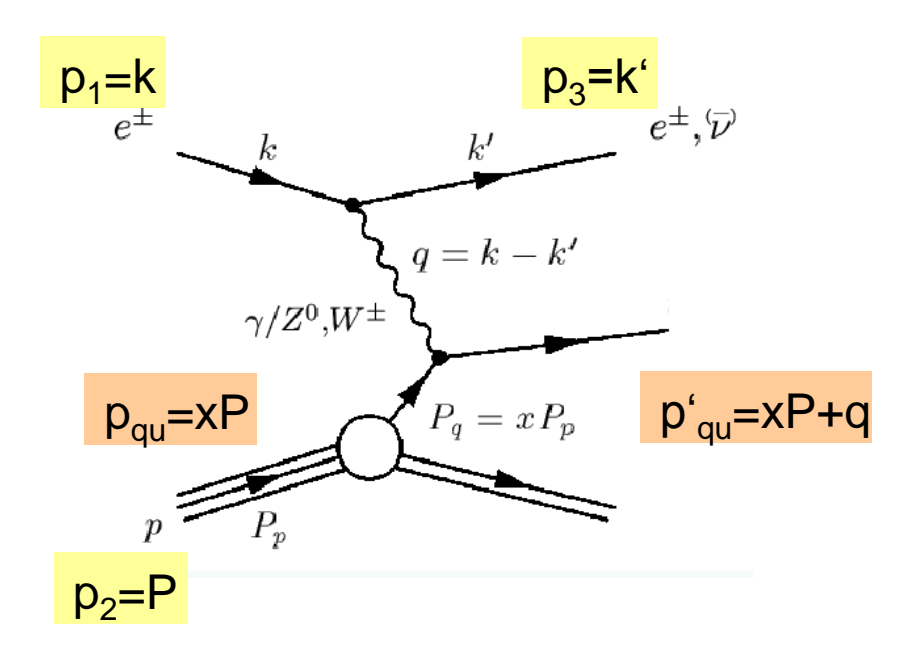
infinite momentum frame:

Quark ist frei, alle Massen vernachlässigbar, transverale Richtungen vernachlässigbar (head-on collisions)

$$p_{qu}=xp_2$$

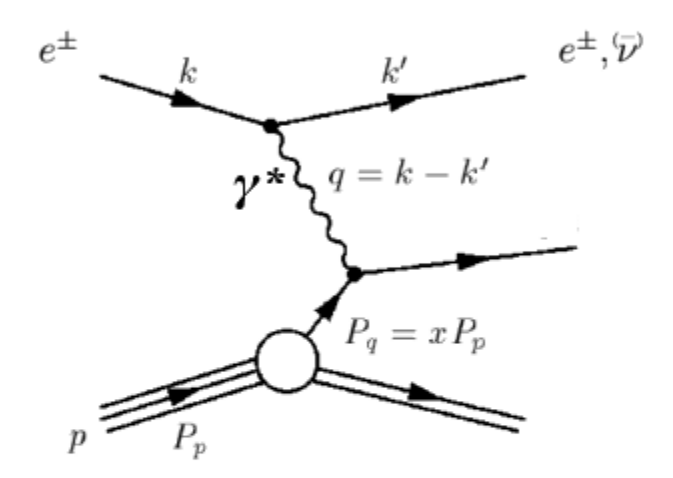
$$p'_{qu}=xp_2+q$$

$$p'^2_{qu}=x^2p_2^2+q^2+2xqp_2$$
 Massen vernachlässigbar, q klein gegen p



$$\begin{vmatrix} |x| = \frac{q^2}{2qp_2} = \frac{q^2}{2qP} \\ x_{Bj} = |x| \end{vmatrix}$$

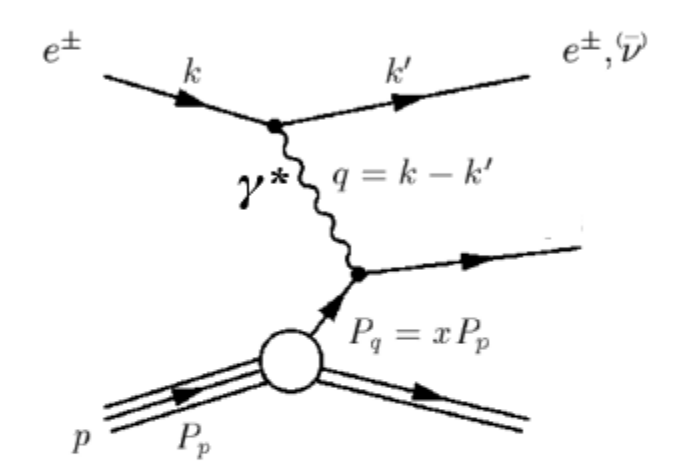
Virtuelles Photon löst Quarks auf. Proton in "infinite momentum frame"



Kinematik:

 $x=-q^2/2p \cdot q$ Bjorken scaling variable

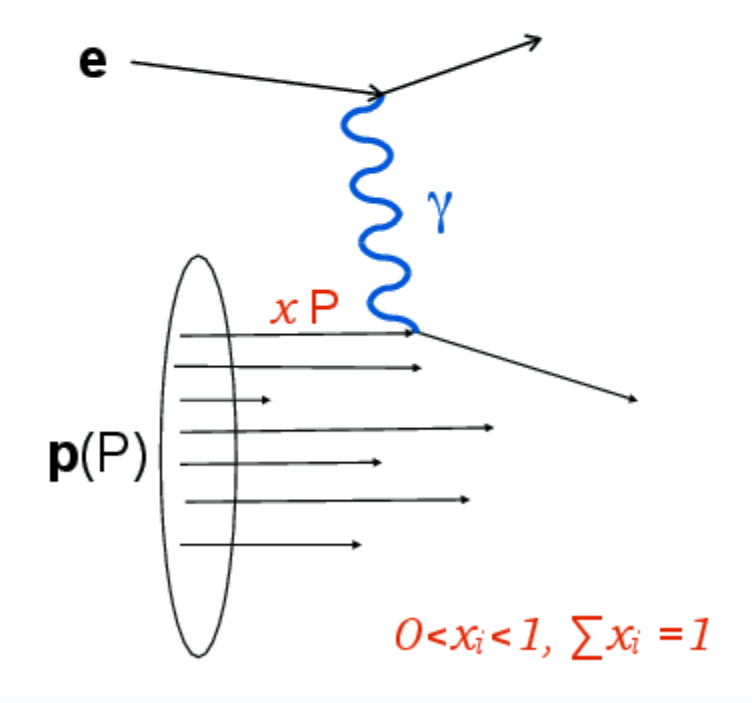
Virtuelles Photon löst Quarks auf. Proton in "infinite momentum frame".



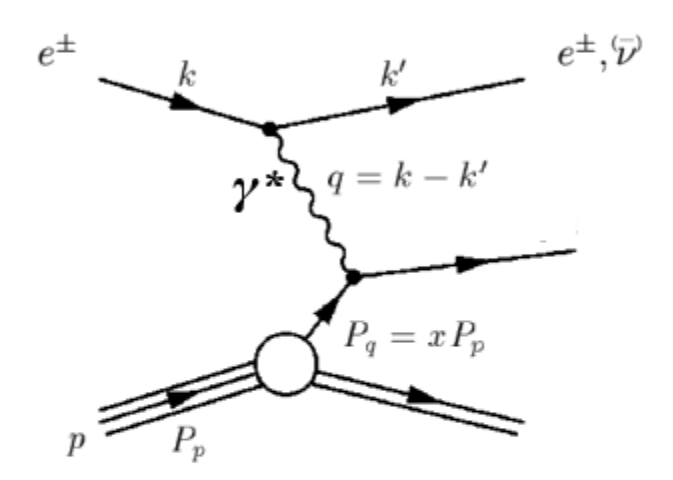
Partonen bewegen sich parallel zum Proton; Partonen masselos, kein transversalimpuls Parton i trägt ein Anteil x_i vom Protonimpuls



 $x=-q^2/2p \cdot q$ Bjorken scaling variable



Virtuelles Photon löst Quarks auf. Proton in "infinite momentum frame"

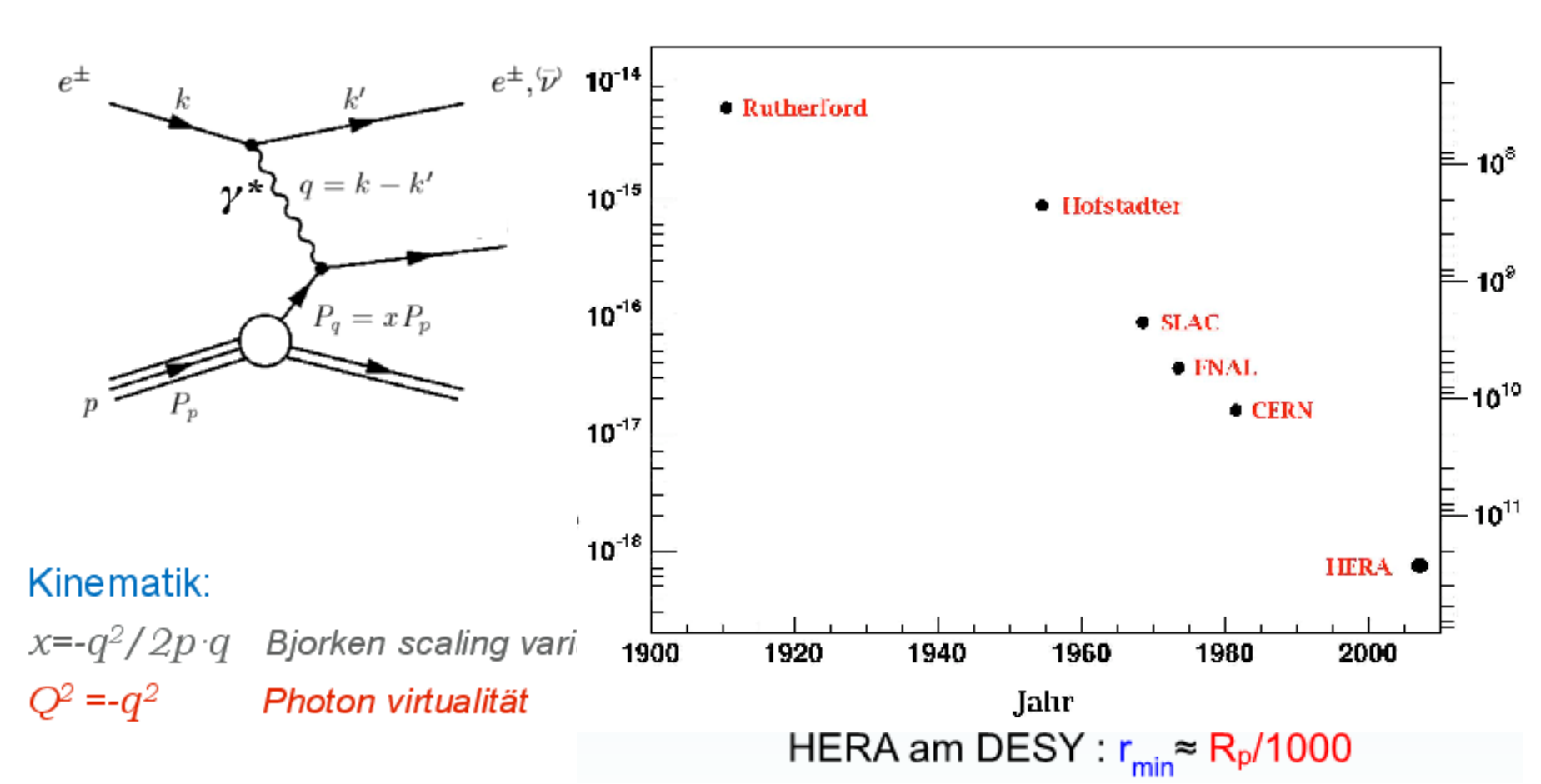


Kinematik:

x=- $q^2/2p\cdot q$ Bjorken scaling variable

$$Q^2 = -q^2$$
 Photon virtualität

Virtuelles Photon löst Quarks auf. Proton in "infinite momentum frame"



Strukturfunktionen und Skalenverhalten

$$\left(\frac{d^3\sigma}{dE'd^2\Omega}\right) = \left(\frac{\alpha}{2E\sin^2\Theta/2}\right)^2 \left[W_2(\nu,Q^2)\cos^2\Theta/2 + 2W_1(\nu,Q^2)\sin^2\Theta/2\right]$$

Hinweis: die W's lassen sich leicht auf den elastischen Fall zurück rechnen $2W_1 = Q^2/2m_2$, $W_2 = 1$ (vlt Aufgabe?)

Für $Q^2 \to \infty \Rightarrow v \to \infty$ Streuzentrum wird zum Punkt (inf. momentum frame)

Bjorken: Die Strukturfunktionen

$$vW_2(v,Q^2) = F_2(x_{Bi})$$
 und $m_pW_1(v,Q^2) = F_1(x_{Bi})$

hängen nur noch von der Skalenvariablen x_{Bi} ab !!! (ist auch intuitiv)

<u>Callan & Gross:</u> Für "nicht zu kleine" Werte von x_{Bi} gilt eine einfache Beziehung:

$$2x_{Bi}F_1(x_{Bi}) = F_2(x_{Bi})$$
 (ist intuitiv wegen Spin)

$$\left(\frac{d^{2}\sigma}{dxdQ^{2}}\right) = \frac{4\pi\alpha}{Q^{4}} \left[(1-y)\frac{F_{2}(x,Q^{2})}{x} + y^{2}F_{1}(x,Q^{2}) \right] \qquad x = \frac{Q^{2}}{2q \cdot P} \quad y = \frac{Pq}{Pk}$$

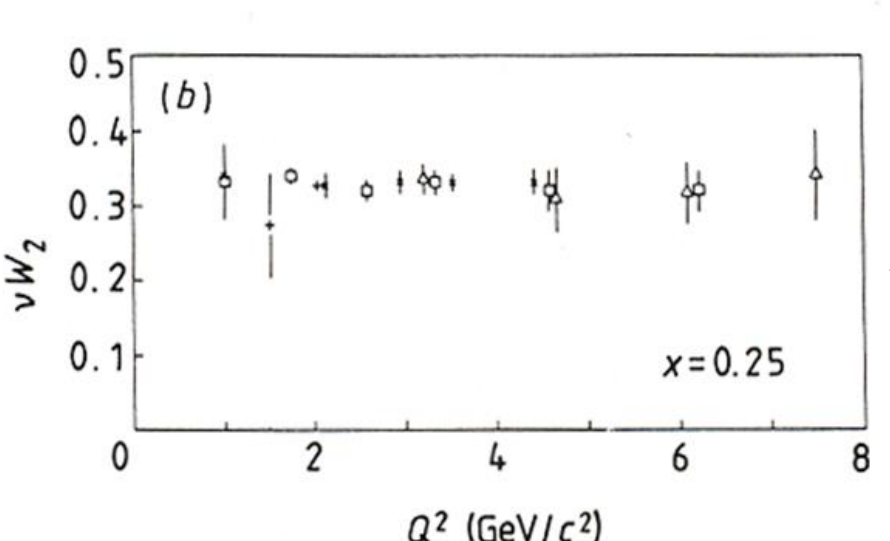
Skaleninvarianz der Strukturfunktion F₂

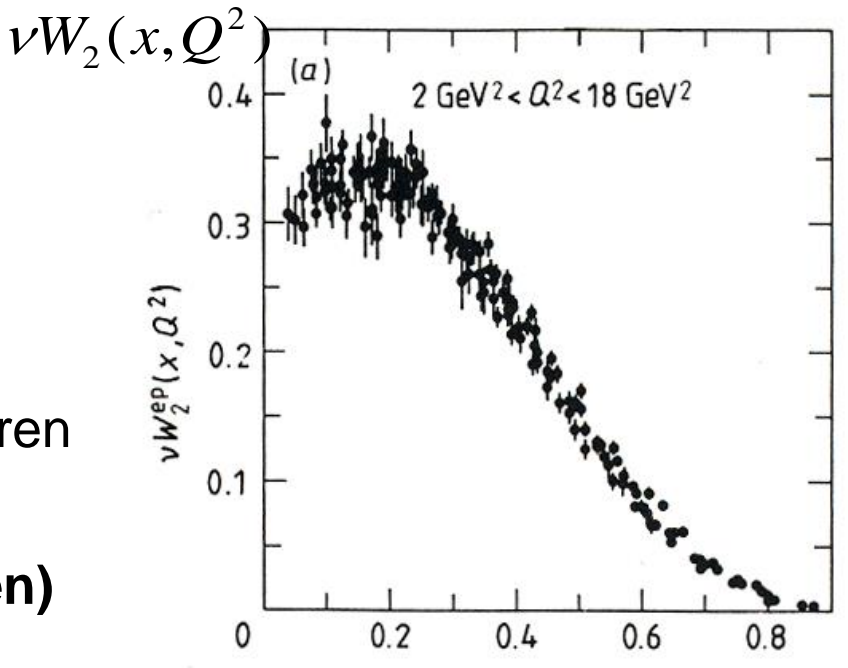
Bjorken-Skaleninvarianz

F₂ ist nahezu unabhängig von Q²

$$F_2(x,Q^2) = F_2(x)$$

- Streukörper haben keine Formfaktoren
- → Streuung an punktförmigen Konstituenten der Nukleonen (Partonen)





Bjorken: "if scattering is caused by point-like constituents (partons), the structure functions for fixed x must be independent of Q²"

Was ist der Spin des Partons?

$$\left(\frac{d\sigma}{d\Omega}\right)_{Mott} = \left(\frac{d\sigma}{d\Omega}\right)_{Ruth} \left(1 + \frac{Q^2}{2m_p^2} \tan^2\Theta/2\right)$$

elast. Streuung
Proj. Spin 1/2, Punkt-Teilchen,
m_T endl. Target-Spin ½
(Nukleon)

$$\left(\frac{d\sigma}{d\Omega}\right)_{Mott} / \left(\frac{d\sigma}{d\Omega}\right)_{Ruth} = \left(1 + \frac{Q^2}{2m_p^2} \tan^2 \Theta / 2\right)$$

$$\left(\frac{d^2\sigma}{d\Omega dE_3}\right) / \left(\frac{d\sigma}{d\Omega}\right)_{Ruth} = \frac{1}{\nu} \left(F_2(x) + \frac{2\nu F_1(x)}{m_p} \tan^2\Theta/2\right)$$

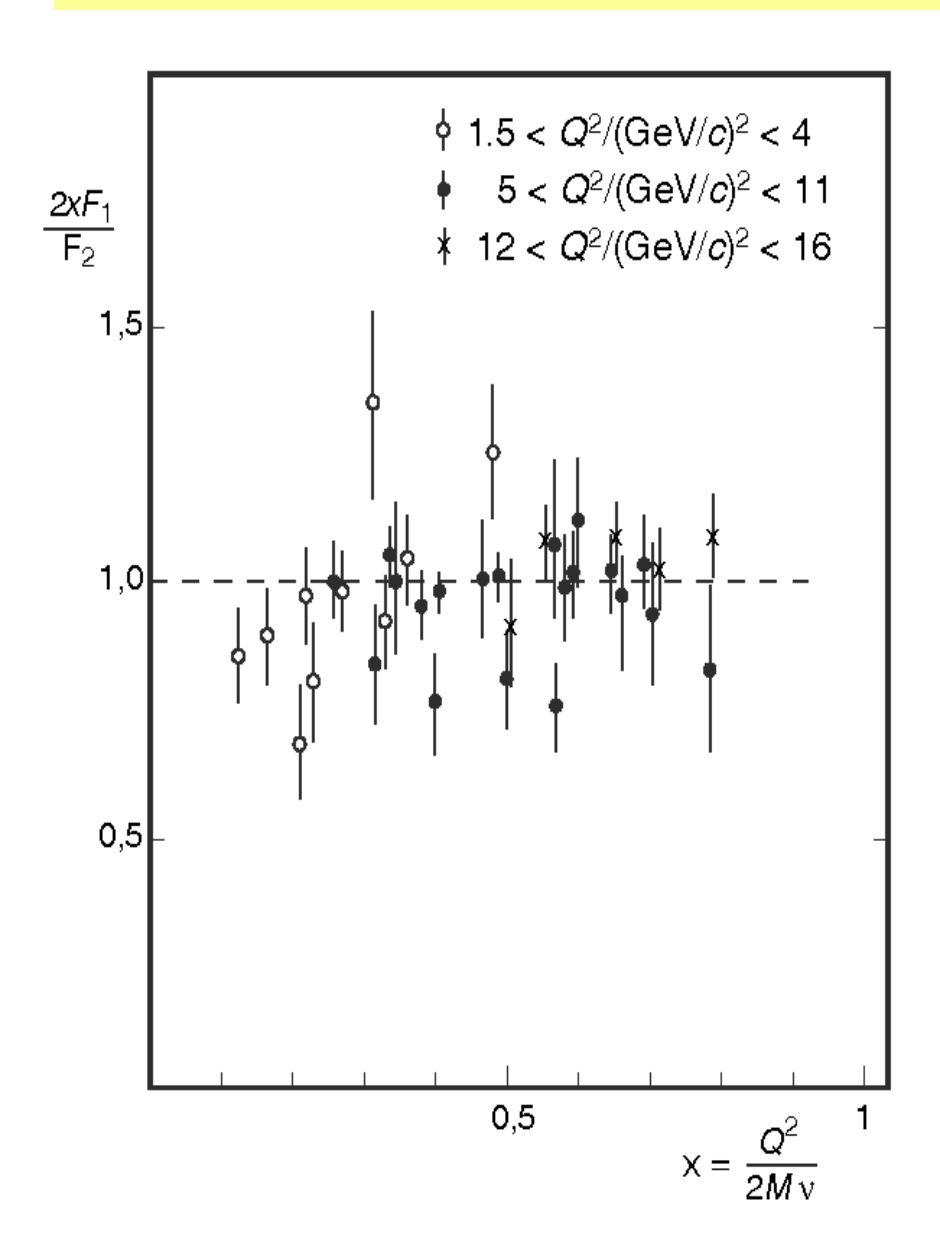
$$\left(\frac{d^2\sigma}{d\Omega dE_3}\right) / \left(\frac{d\sigma}{d\Omega}\right)_{Ruth} = \frac{F_2(x)}{v} \left(1 + \frac{2vF_1(x)}{m_p F_2(x)} \tan^2\Theta/2\right)$$

lässt sich darauf zurück führen wenn parton Spin = 1/2

if parton Spin =
$$0 \rightarrow F_1(x) = 0$$

if parton Spin = $1/2 \rightarrow F_2(x) = 2x F_1(x)$

Callan-Gross-Relation

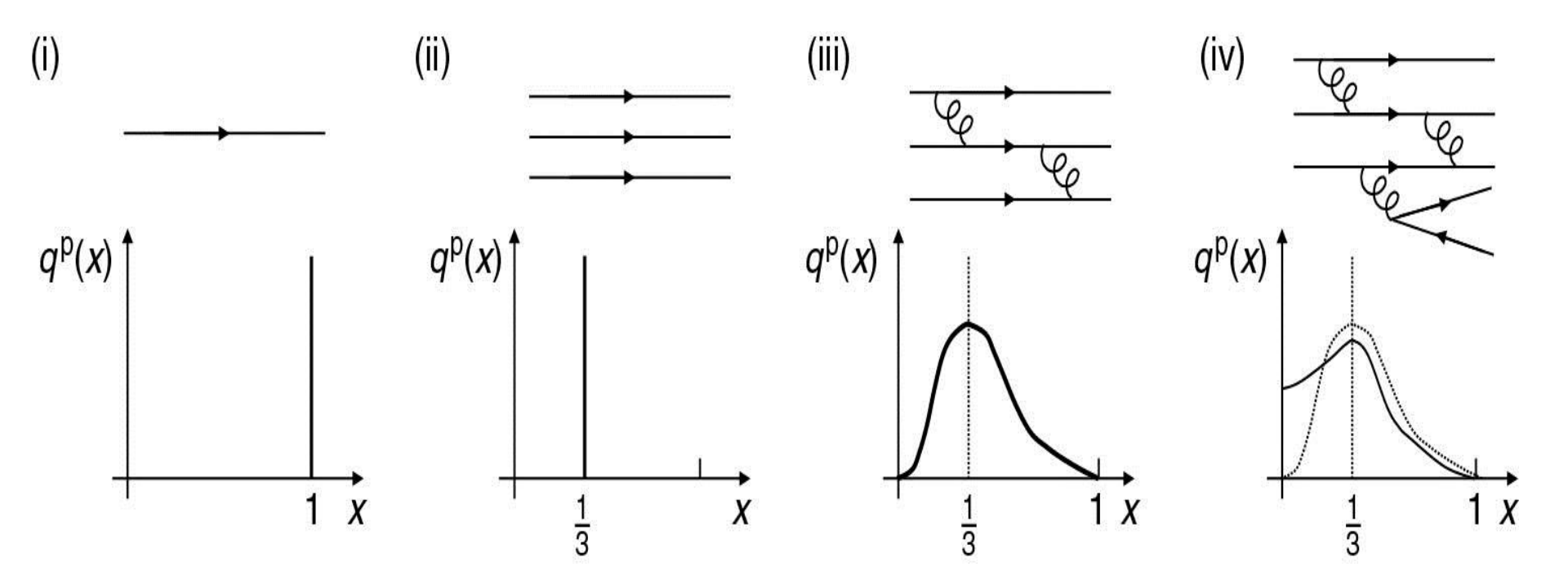


 $2xF_1(x,Q^2) = F_2(x)$ für Teilchen mit Spin 1/2

für Teilchen mit Spin 0 ist F₁=0

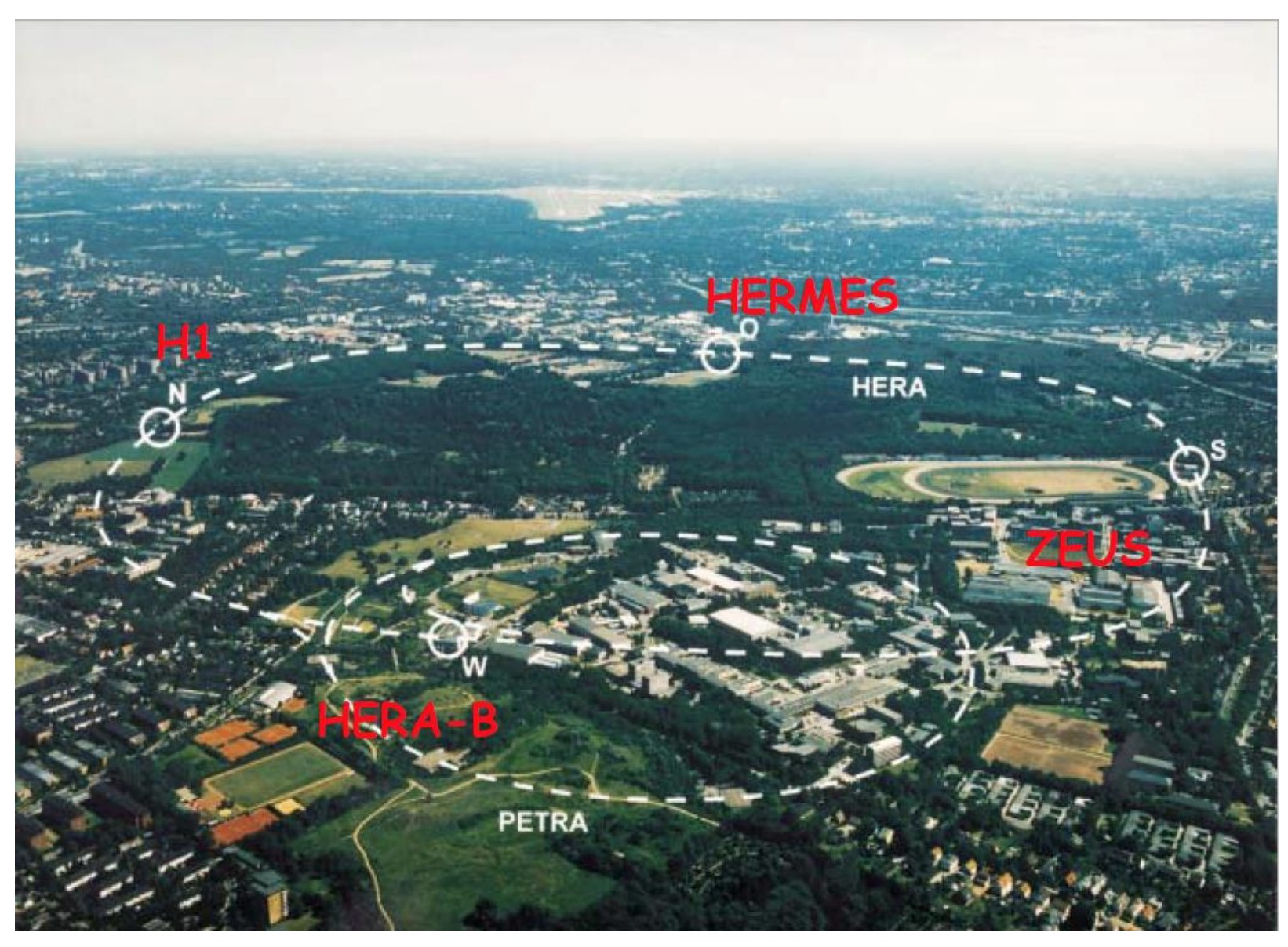
Aus Povh, Rith, Scholz, Zetsche, Teilchen und Felder

Modellvorstellung: Partonverteilungen



Tiefinelastische e-p Streuung (HERA)

https://www.mppmu.mpg.de/english/WS0203-V8.pdf



Tiefinelastische e-p Streuung (HERA)

https://www.mppmu.mpg.de/english/WS0203-V8.pdf

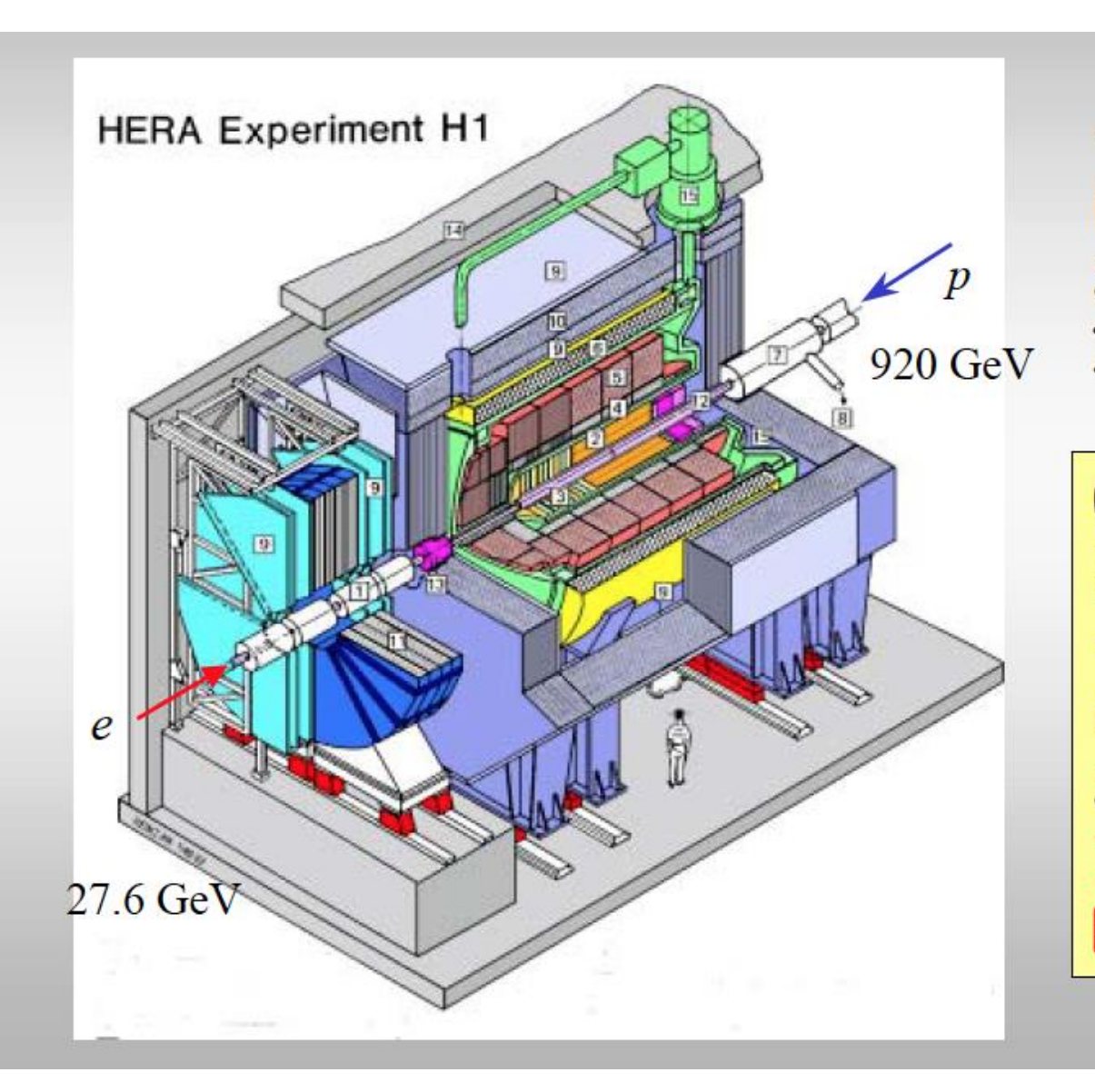


E _p (GeV)	920
E _e (GeV)	27.5
Time between crossing	96 ns
L (cm ⁻² s ⁻¹)	1.4 * 1031

Schwerpunktsenergie: ~320 GeV/c²

Tiefinelastische e-p Streuung (HERA

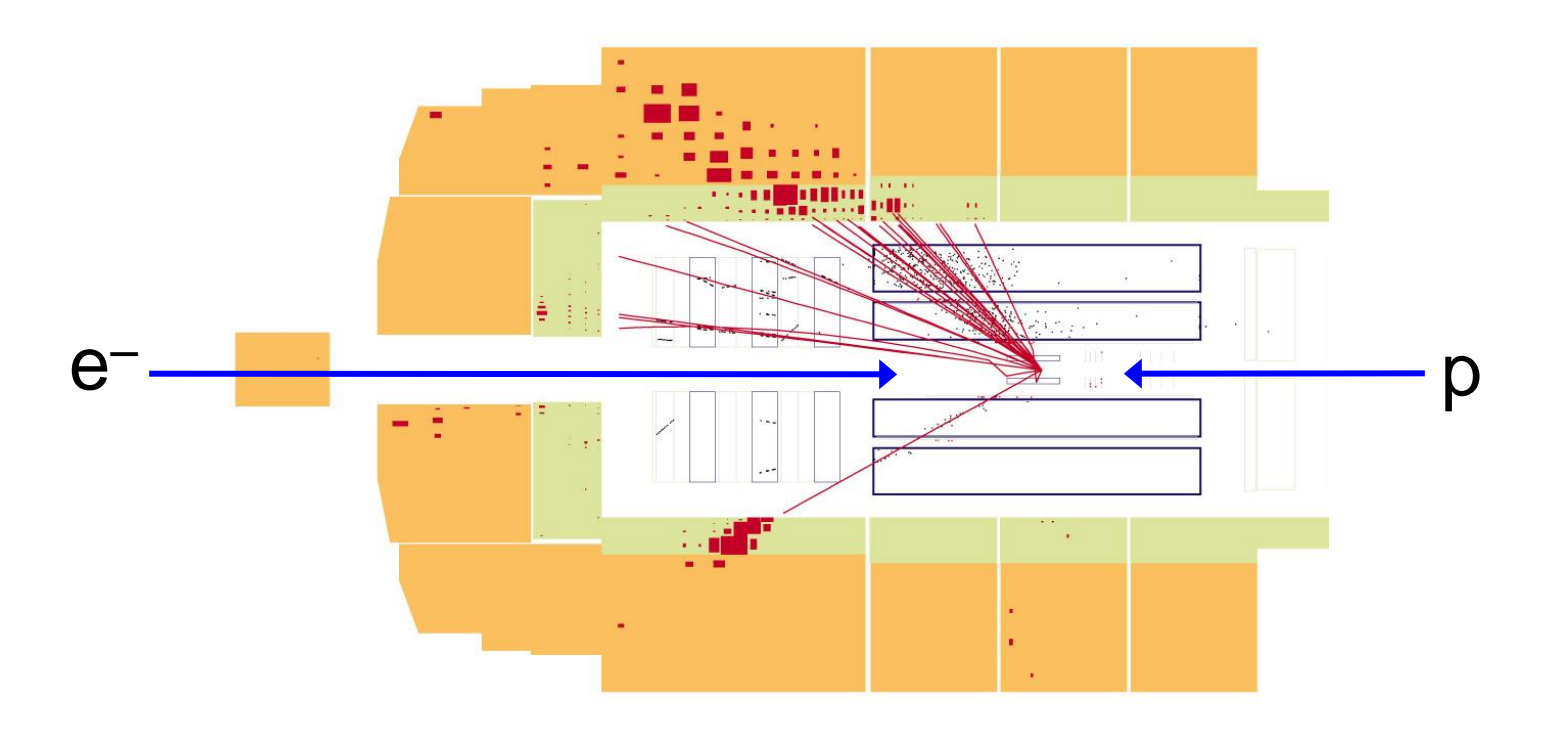
https://www.mppmu.mpg.de/english/WS0203-V8.pdf

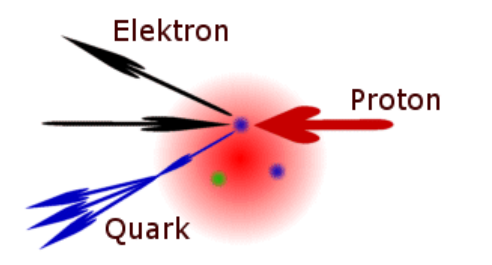


weitgehendidentischeSpurkammern gleicherImpulsauflösung

unterschiedliche
Kalorimeter
•H1: LAr-Kalorimter
innerhalb des
Solonoiden
>gute ElektronRekonstruktion

Tiefinelastische e-p Streuung (HERA)

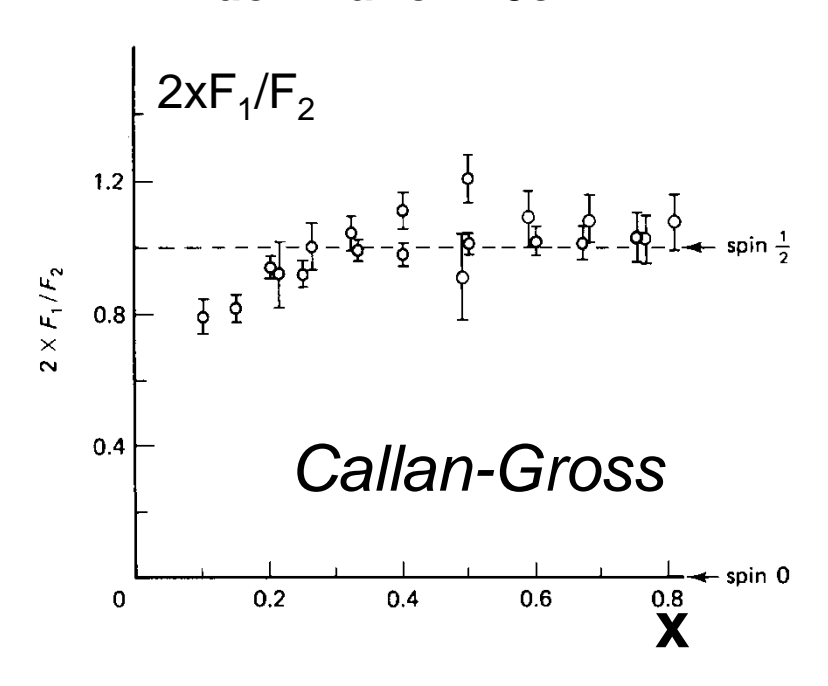




Tiefinelastische e-p = Elastische Elektron-Quark-Streung + Teilchenproduktion (Jet + p-Fragmente)

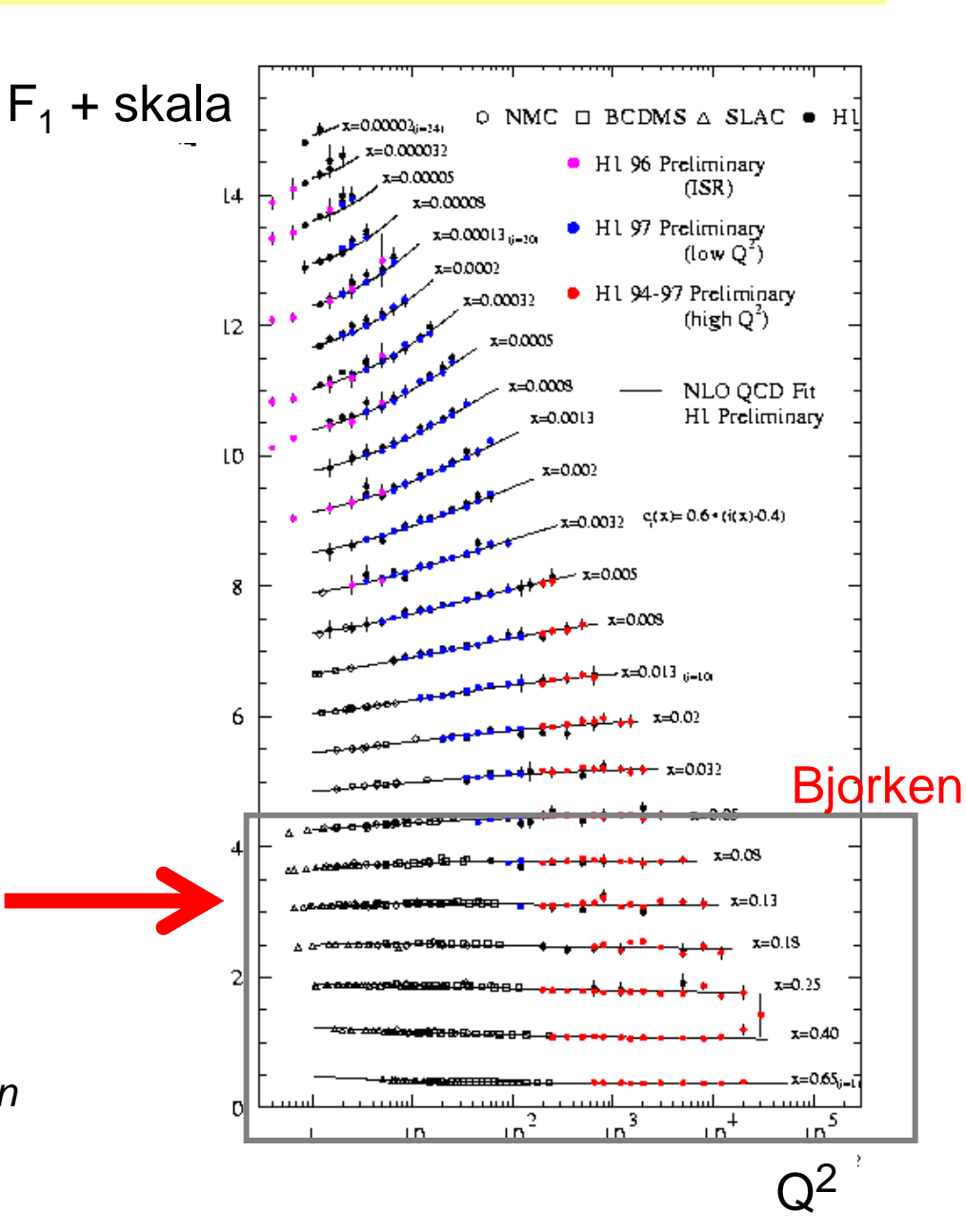
DIS Messungen

Erste Messungen am SLAC in den frühen 70ern

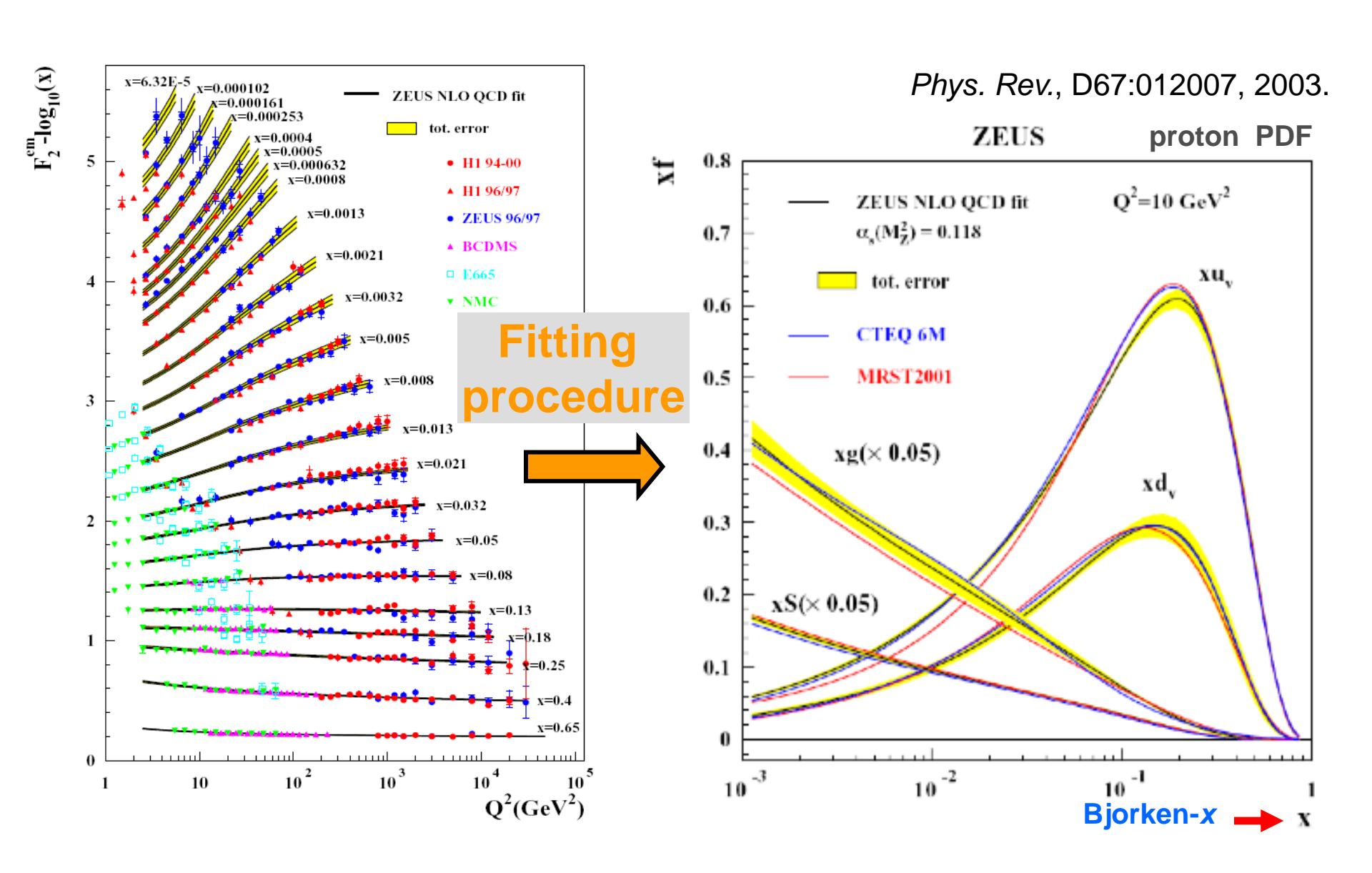




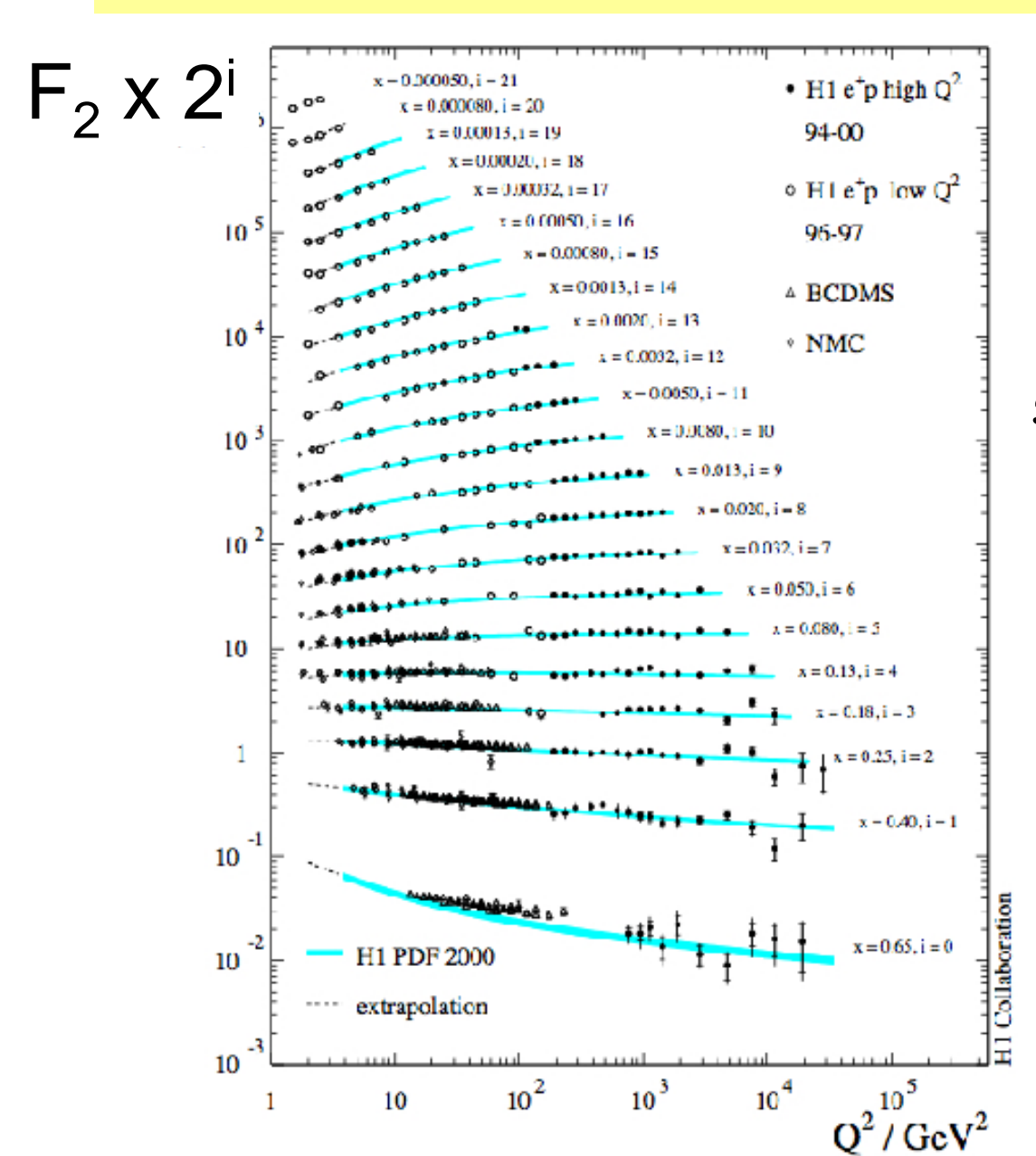
Später beobachtete Abweichung vom Bjorken-Scaling weist auf Konstituenten hin, die nicht an Photonen koppeln.



Partonverteilung im Proton



Skalenverletzung $F_2=F_2(x,Q^2)$



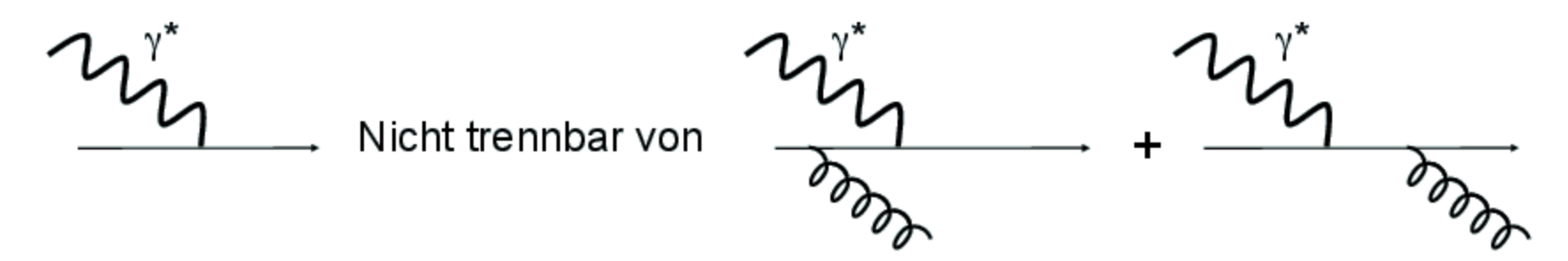
log- Abhängigkeit von Q²

stärkere Abh. von Q² bei kleinen x

Skalenverletzung in QCD

Quarks wechselwirken durch Gluon - Austausch , Gluon-Spin

Wie in QED, Strahlungskorrekturen sind notwendig:



Wirkungsquerschnitt wird unendlich groß → Renormierung.

Strahlungskorrekturen führen zur zusätzlichen Abhängigkeit von Q2:

$$F_2(x) \rightarrow F_2(x, Q^2); \qquad q(x) \rightarrow q(x, Q^2)$$

Interpretation der Partondichten: z.B. $u(x, Q^2)$: Anzahl der Up-Quarks im Proton mit Impuls zwischen xP und (x+dx)P, beobachtet mit einer Auflösung Q^2 :

Q² klein: grobe Auflösung, nur Valenzquarks sichtbar

 Q^2 groß: feine Auflösung, sichtbar auch Seequarks und Gluonen

Strukturfunktion Elektron-Proton und Summenregeln

$$\frac{F_2^{ep}(x)}{x} = \sum_i e_i^2 q_i(x)$$

!!! q(x) ist die Impuls-Vtlg –
nicht zu verwechseln mit WQ !!

$$= \frac{4}{9}(u^{p}(x) + \overline{u^{p}(x)}) + \frac{1}{9}(d^{p}(x) + \overline{d^{p}(x)})$$

schwere See-Quarks zunächst nicht berücksichtigt (ohnehin unterdrückt)

$$\begin{split} \frac{F_2^{en}(x)}{x} &= \sum_i e_i^2 q_i(x) \\ &= \frac{4}{9} (u^n(x) + \overline{u^n(x)}) + \frac{1}{9} (d^n(x) + \overline{d^n(x)}) \\ &= \frac{4}{9} (d(x) + \overline{d(x)}) + \frac{1}{9} (u(x) + \overline{u(x)}) \end{split}$$

Isospin-Symmetrie $u \Leftrightarrow d p \Leftrightarrow n$

$$\frac{u(x) \equiv u^p(x) = d^n(x)}{u(x) \equiv u^p(x) = \overline{d^n(x)}} \qquad \qquad \frac{d(x) \equiv d^p(x) = u^n(x)}{\overline{d(x)} \equiv \overline{d^p(x)} = \overline{u^n(x)}}$$

Strukturfunktion Elektron-Proton und Summenregeln

$$\int_{0}^{1} F_{2}^{ep}(x) dx = \int x \frac{4}{9} (u(x) + \overline{u(x)}) + \frac{1}{9} (d(x) + \overline{d(x)}) dx = \frac{4}{9} f_{u} + \frac{1}{9} f_{d}$$

$$\int_0^1 F_2^{en}(x)dx = \int x \frac{4}{9} (d(x) + \overline{d(x)}) + \frac{1}{9} (u(x) + \overline{u(x)}) dx = \frac{4}{9} f_d + \frac{1}{9} f_u$$

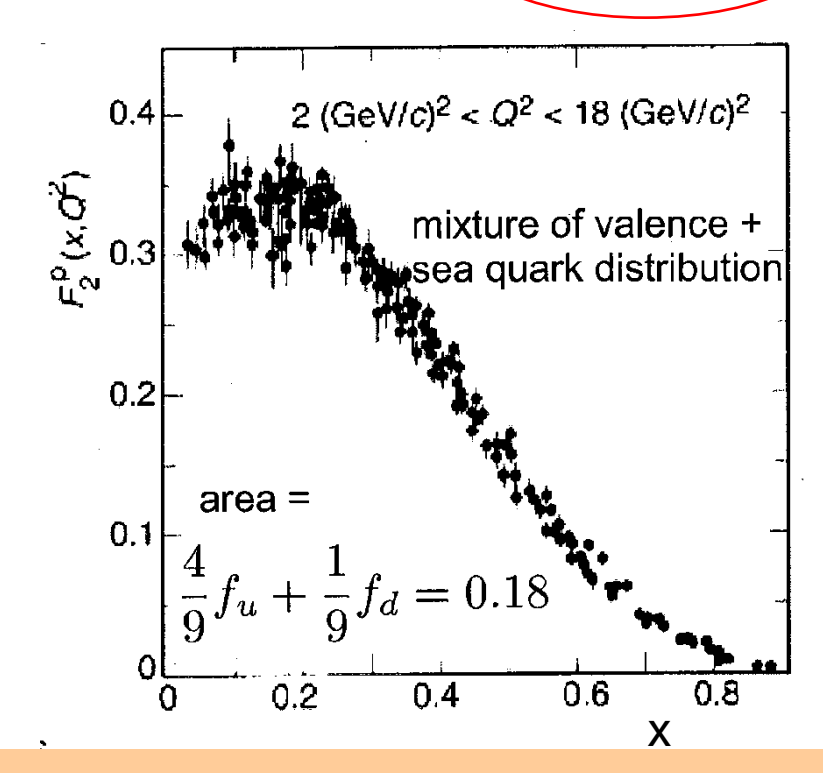
$$f_{u} = \int_{0}^{1} x(u(x) + \overline{u(x)})dx$$
$$f_{d} = \int_{0}^{1} x(d(x) + \overline{d(x)})dx$$

Experiment

$$\int_0^1 F_2^{ep}(x)dx \sim 0.18$$

$$\int_0^1 F_2^{en}(x)dx \sim 0.12$$

$$\implies f_u = 0.36 \qquad f_d = 0.18$$



ud-Quarks erbringen nur etwa 50% des Proton-Impulses

- u(x) ist Gesamtvtlg mit Valenz-Quark Anteil $u_{V}(x)$ und See-Quark Anteil $u_{S}(x)$
- Antiquarks nur im See, $q\bar{q}$ immer Paarweise:

$$u_S(x) = \bar{u}(x), \ d_S(x) = \bar{d}(x), \ s_S(x) = \bar{s}(x)$$

- Symmetrie: Proton = (uud), Neutron = (udd)
- $2xF_1 = F_2(x) = \sum_f e_f^2 x q_f(x), \quad x = x_B$
- Unterscheide p und n: $F_2^{p,n}(x), u^{p,n}(x), \ldots$

Summenregeln:

$$\begin{split} \int_0^1 \{u^p(x) - \bar{u}^p(x)\} \mathrm{d}x &= \int_0^1 u_V^p(x) \mathrm{d}x = 2 \\ \int_0^1 \{d^p(x) - \bar{d}^p(x)\} \mathrm{d}x &= \int_0^1 d_V^p(x) \mathrm{d}x = 1 \\ \int_0^1 \{s^p(x) - \bar{s}^p(x)\} \mathrm{d}x &= 0 \end{split}$$

Isospin-Symmetrie:

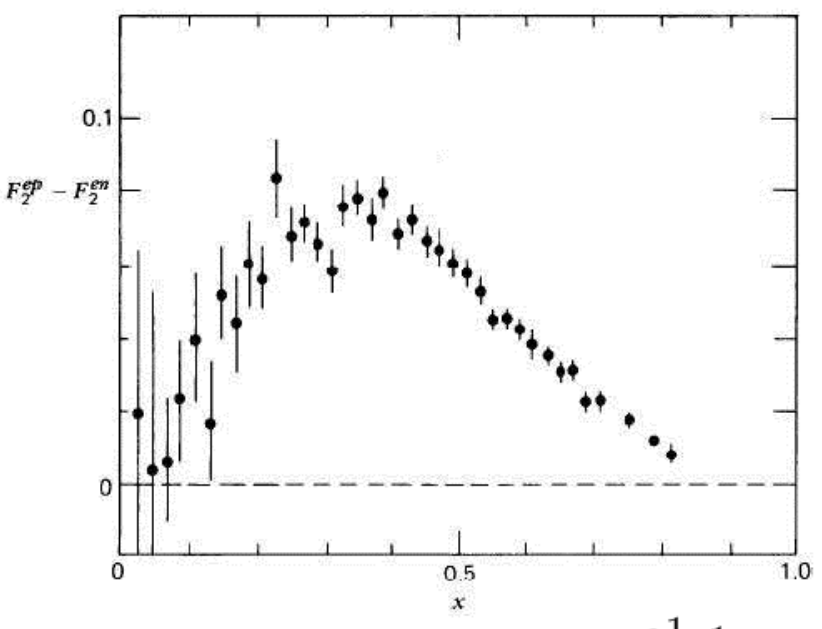
$$u^p(x) = d^n(x) \equiv u(x), \quad d^p(x) = u^n \equiv d(x)$$

Flavour-symmetrischer See?

$$\bar{u}(x) = \bar{d}(x) = \bar{s}(x) =: S(x)$$

• Vergleiche $F_2^p(x)$ und $F_2^n(x)$:

$$\frac{1}{x}\left(F_2^p(x) - F_2^n(x)\right) = \frac{1}{3}\left(u_V(x) - d_V(x)\right) + \frac{2}{3}\left(\bar{u}(x) - \bar{d}(x)\right)$$

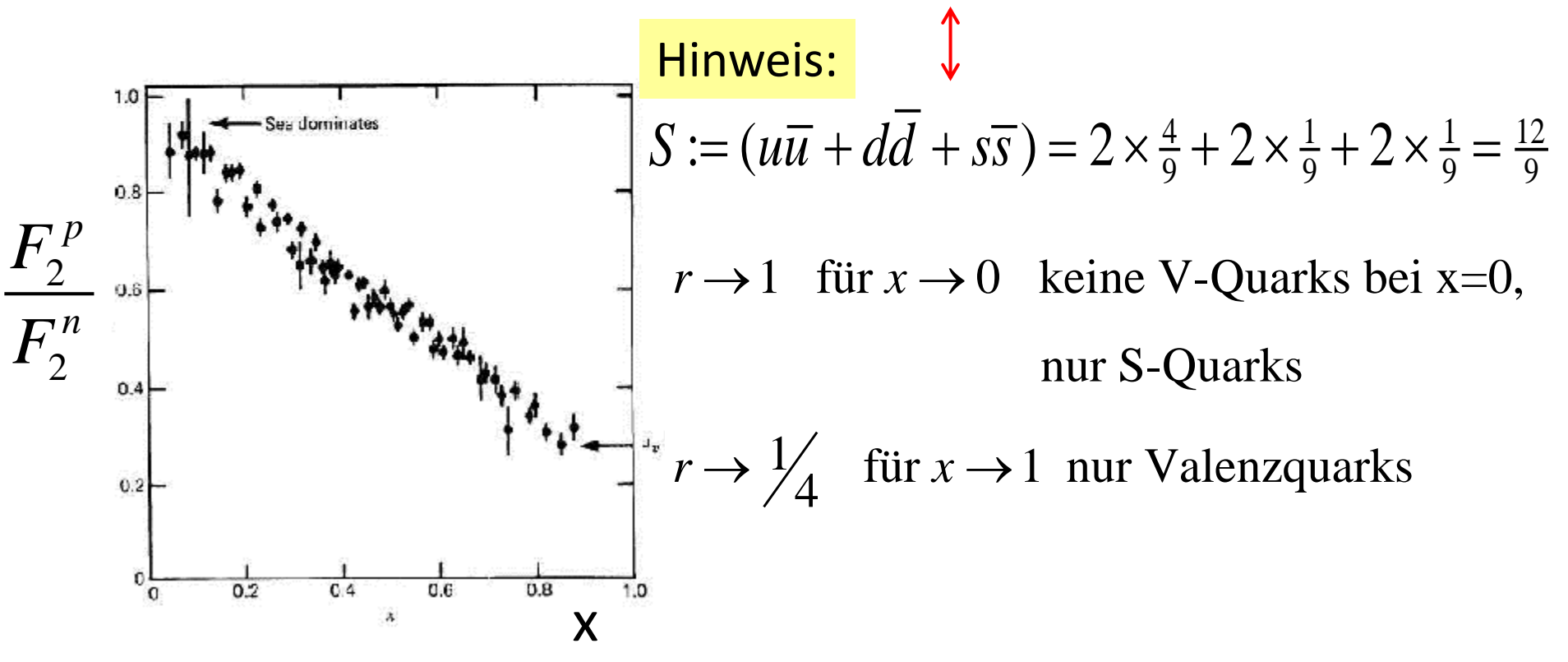


Verhalten für $x \to 0!$

• Gottfried-Summe: $\int_0^1 \frac{1}{x} \left(F_2^p(x) - F_2^n(x) \right) \mathrm{d}x \neq \frac{1}{3}$

• Vergleiche $F_2^p(x)$ und $F_2^n(x)$ unter der Annahme eines flavour-symmetrischen Sees:

$$\frac{F_2^n}{F_2^p} = \frac{4d_V(x) + u_V(x) + 12S(x)}{d_V(x) + 4u_V(x) + 12S(x)} =: r$$



- **Definiere**: $F_2^N(x) = \frac{1}{2}(F_2^p(x) + F_2^n(x))$ arith. Mittel
- Es gilt: $F_2^N(x) \simeq \frac{5}{18} x \sum_f (q_f(x) + \bar{q}_f(x))$
- Wäre der gesamte Impuls des Nukleons von den Quarks getragen, dann müsste gelten:

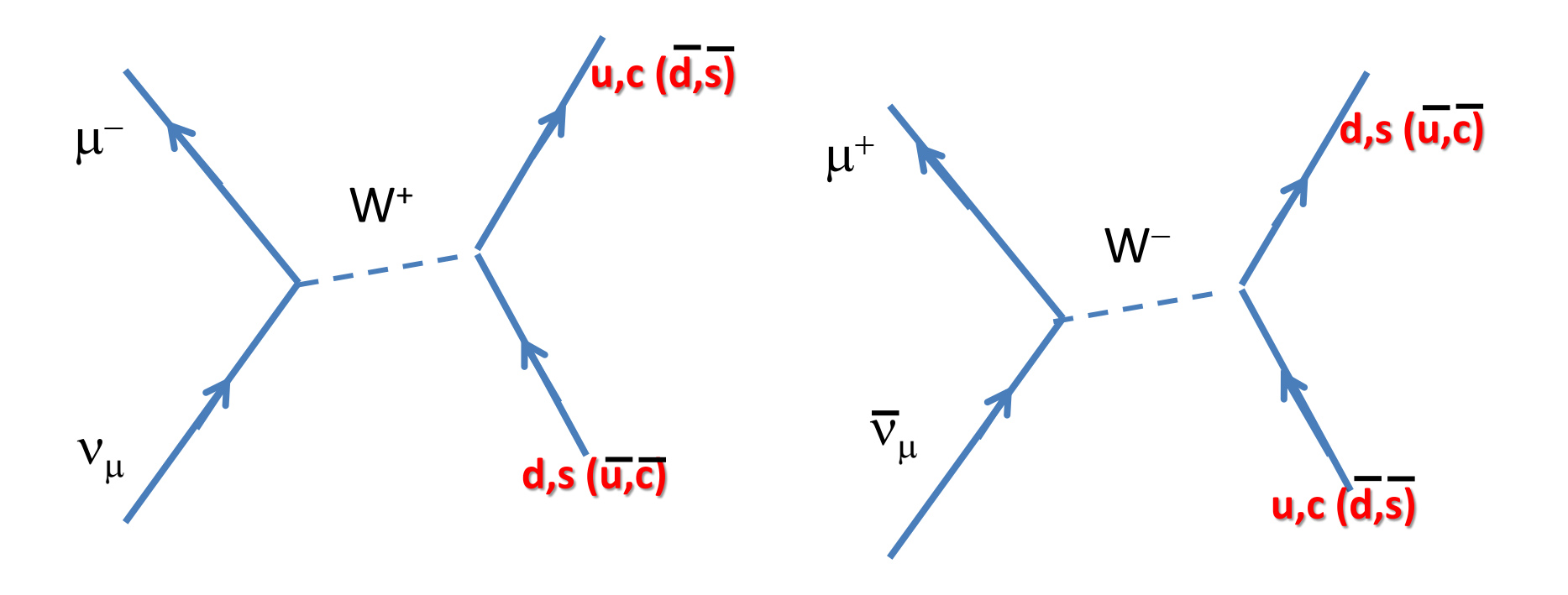
$$\int_0^1 F_2^N(x) dx \simeq \frac{5}{18} \int_0^1 x \sum_f (q_f(x) + \bar{q}_f(x)) dx = \frac{5}{18}$$

- Man misst aber nur ~50% (in eN & ν N-Streuung)
 - → es gibt "Dinge" im Nukleon, die weder elektromagnetisch noch schwach wechselwirken
 - → Gluonen

Warum ν -Streuung?

- Virtuelles γ koppelt an Quarkladungen unabhängig davon ob q oder \bar{q}
- Mit geladenen Leptonen kann man nicht direkt Valenz- und Seequarks separieren
- u-Streuung unterscheidet zwischen q und $ar{q}$
- Grund: linkshändige ν (rechtshändige $\bar{\nu}$) koppeln nur an linkshändige q (rechtsh. \bar{q})
- Ausserdem: Ladungserhaltung am Vertex

v-Streuung (basic!)



Eigenschaften der schwachen Wechselwirkung:

- Drei schwere Austauschbosonen: W^{\pm}, Z^0
- Extrem kurzreichweitig: $\sim~10^{-3}~{\rm fm}$
- Universalität der schwachen Ladung
- Maximale Paritätsverletzung
- CKM-Mischung der schwachen Quark-Eigenzustände (vernachlässigen wir)

Herleitung des νN Wirkungsquerschnittes analog zur ep-Streuung bis auf:

- Ersetze $rac{lpha}{Q^2}$ durch $rac{G_F M_W^2}{2\pi\sqrt{2}(Q^2+M_W^2)}$
- Ersetze $W_{1,2}$ durch $W_{1,2}^{\nu N}$ bzw. $W_{1,2}^{ar{
 u} N}$
- Wir brauchen eine dritte Strukturfunktion W_3 , um den Hadrontensor zu parametrisieren (Eich- und Paritätssymmetrie fallen weg)

Ergebnis (im Laborsystem):

$$\begin{split} \frac{\mathrm{d}^2 \sigma(\nu N)}{\mathrm{d}\Omega \mathrm{d}E'} &= \frac{G_F^2 M_W^4 E'^2}{2\pi^2 (Q^2 + M_W^2)^2} \{2W_1^{\nu N}(\nu, Q^2) \sin^2 \frac{\theta}{2} + \\ &+ W_2^{\nu N}(\nu, Q^2) \cos^2 \frac{\theta}{2} + W_3^{\nu N}(\nu, Q^2) \frac{E + E'}{M} \sin^2 \frac{\theta}{2} \} \end{split}$$

Vergleich zur ep-Streuung:

$$\frac{\mathrm{d}^2 \sigma}{\mathrm{d}\Omega \mathrm{d}E'} = \frac{4\alpha^2 E'^2}{Q^4} \{ 2W_1(\nu, Q^2) \sin^2 \frac{\theta}{2} + W_2(\nu, Q^2) \cos^2 \frac{\theta}{2} \}$$

Definiere wieder dimensionslose Strukturfkt.:

$$F_1 = MW_1$$

$$F_2 = \nu W_2$$

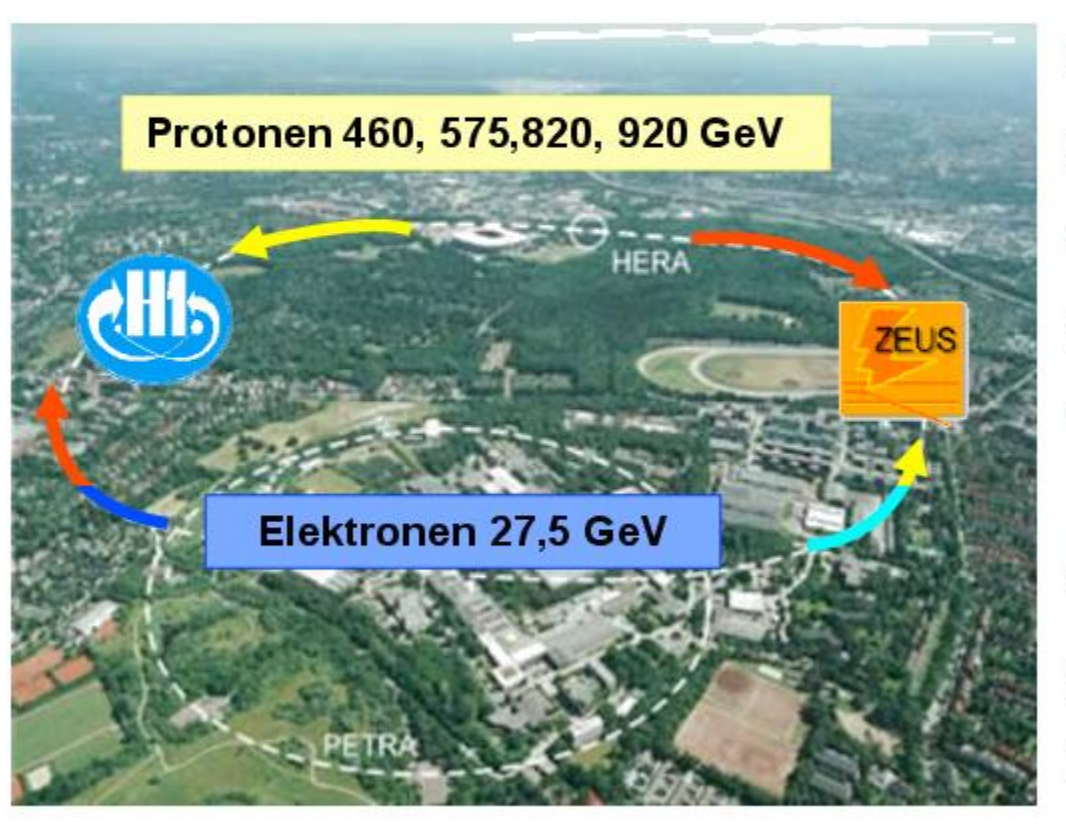
$$F_3 = \nu W_3$$

Lorentzinvarinater Wirkungsquerschnitt:

$$\frac{\mathsf{d}^2 \sigma^{(\nu,\bar{\nu})}}{\mathsf{d}x \mathsf{d}y} = \frac{G_F^2 M E}{\pi} \left(\frac{M_W^2}{M_W^2 + Q^2} \right)^2 \{ x y^2 F_1 + (1 - y) F_2 \pm y \left(1 - \frac{y}{2} \right) x F_3 \}$$

Tief-unelastische Streuung am HERA

Hadron Elektron Ring Anlage am DESY: 1992-2007



Kollisionsexperimente
H1 und ZEUS:

$$\sqrt{s_{high\ energy}} = 319\ GeV$$

$$\sqrt{s_{medium}} = 252 \text{ GeV}$$

$$\sqrt{s_{low\ energy}} = 225\ GeV$$

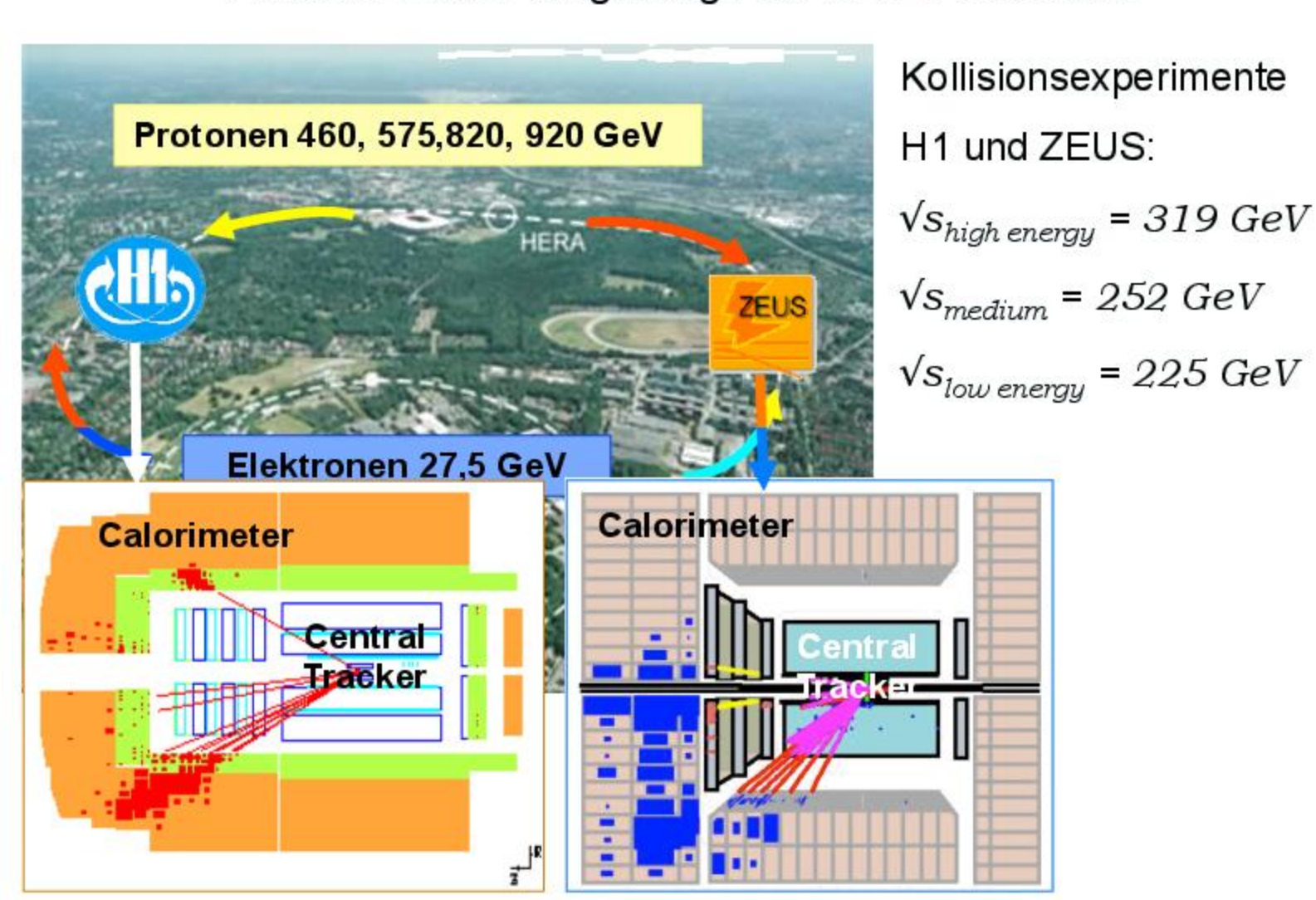
Fixed-Target Experimente
HERMES und HERA-B
Luminosität in Kollisionen:

$$\gamma_{\rm e} = 54000 \ \gamma_{\rm p} = 990$$

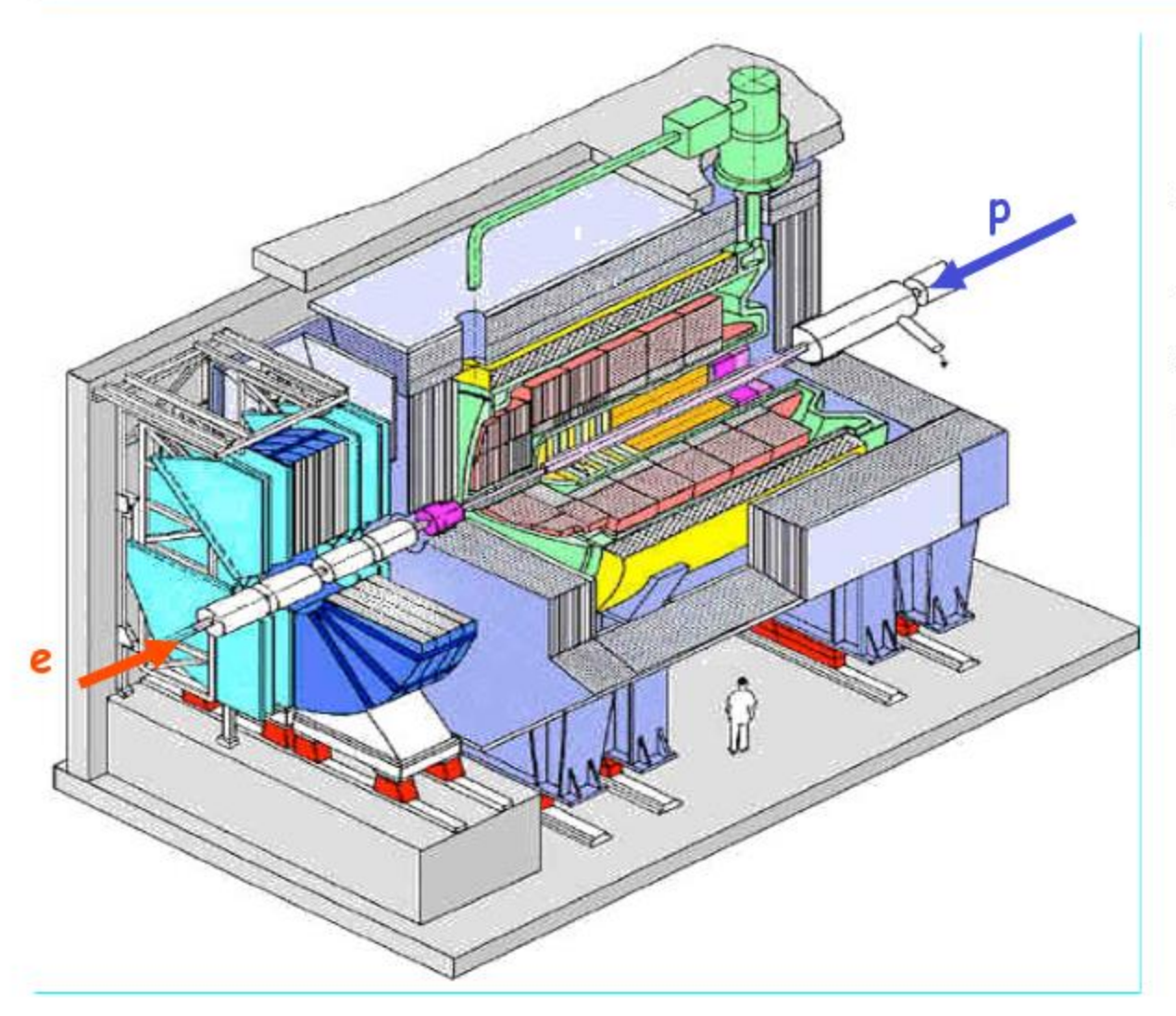
$$Q^2$$
 (collision)_{max} ~ 10^5

Tief-unelastische Streuung am HERA

Hadron Elektron Ring Anlage am DESY: 1992-2007

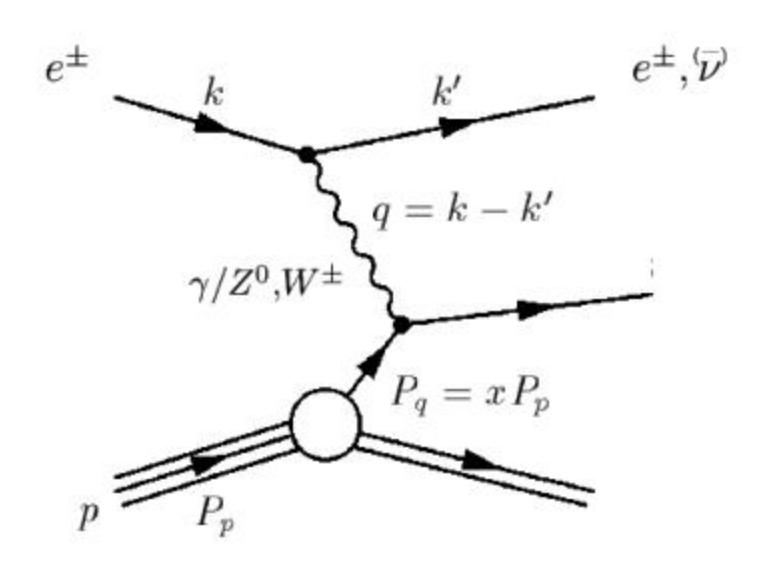


H1 Experiment am HERA



4π Detektor "Zwiebel-artig", asymmetrisch in Proton-Richtung

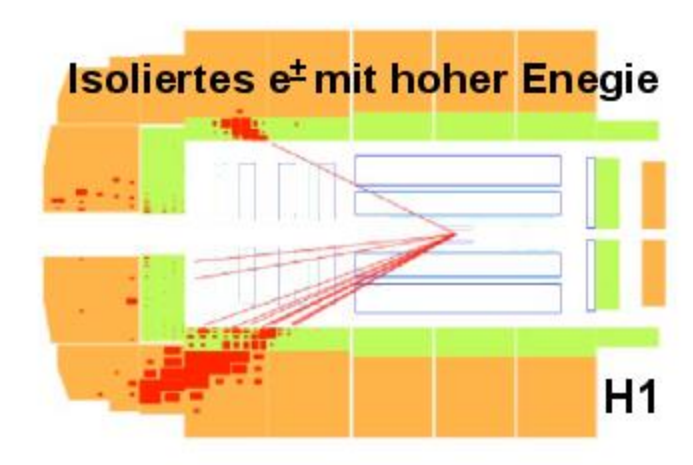
NC und CC Prozesse in DIS



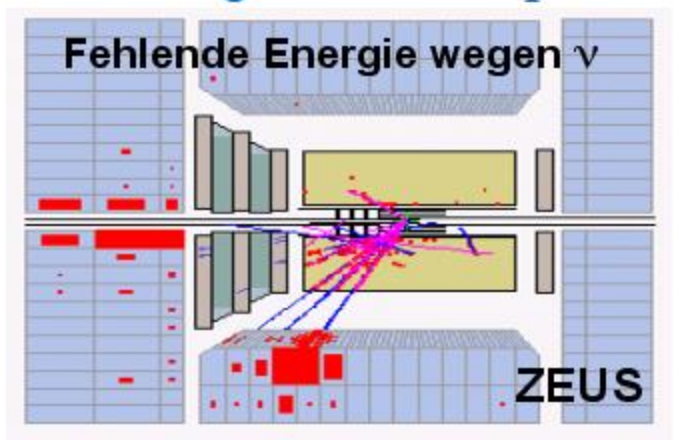
 γ/Z° Austausch: Neutraler Strom

W[±]-Austausch: Geladener Strom

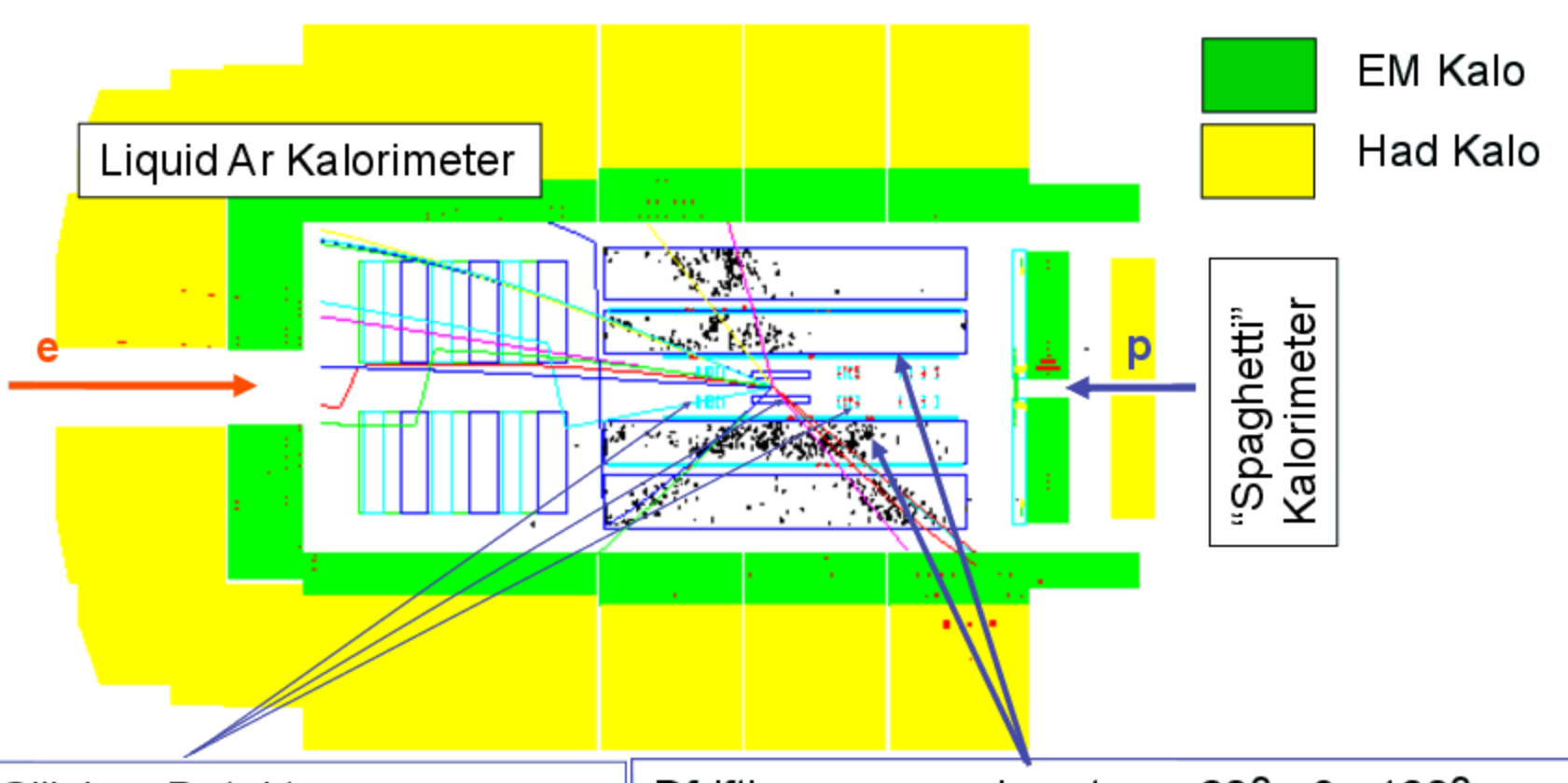
 γ , Z: Neutral Current $ep \rightarrow lX$



 W^{\pm} : Charged Current $ep \rightarrow v X$



H1 Experiment am HERA



Silizium Detektoren:

Messung der Vertexposition

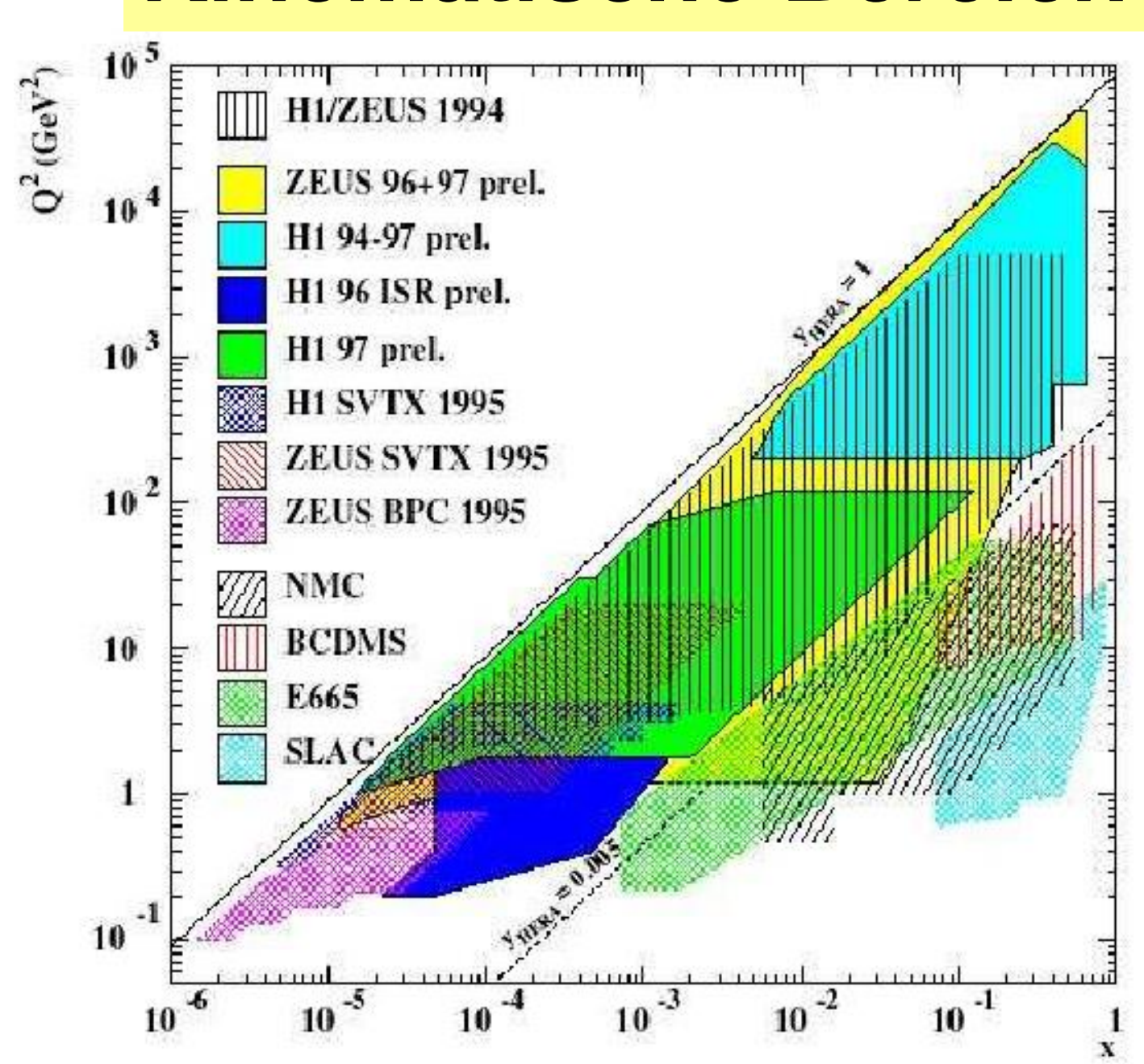
(Erkennung schwerer Quarks)

Dfriftkammern: akzeptanz: 20° <θ< 160°

Ladung und Zeitinformation

 $B=1.15 T: p_T$ geladener Teilchen

Kinematische Bereiche



CERN Wide-Energy-Band Beam (WBB)

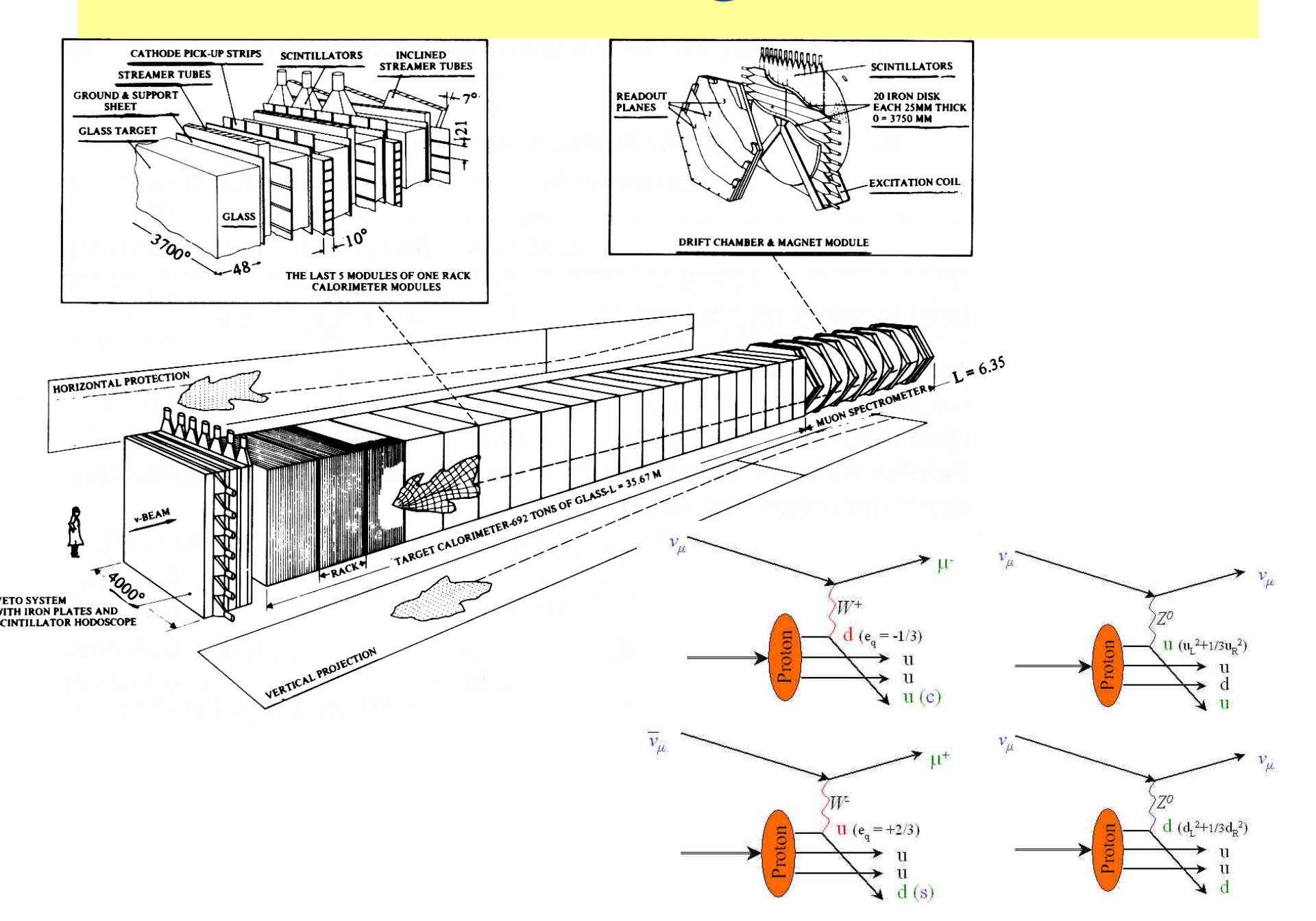
$$\pi^{+} \rightarrow \nu_{\mu} + \mu^{+}, \quad \mathsf{K}^{+} \rightarrow \nu_{\mu} + \mu^{+}, \quad \mathsf{K}^{+} \rightarrow \pi^{0}\nu_{\mu} + \mu^{+}, \quad \mathsf{K}^{+} \rightarrow \pi^{0}\nu_{e} + \mathrm{e}^{+}$$
 SPS target horn reflector decay tunnel iron,earth Nomad
$$\pi^{+}, K^{+} \rightarrow \nu_{\mu} + \nu_{\mu}$$

- CERN SPS: 450 GeV protons
- ullet 2 extractions of 10^{13} protons on Be-target every 14.4 sec
- Neutrino flux at Chorus and Nomad detectors per extraction:

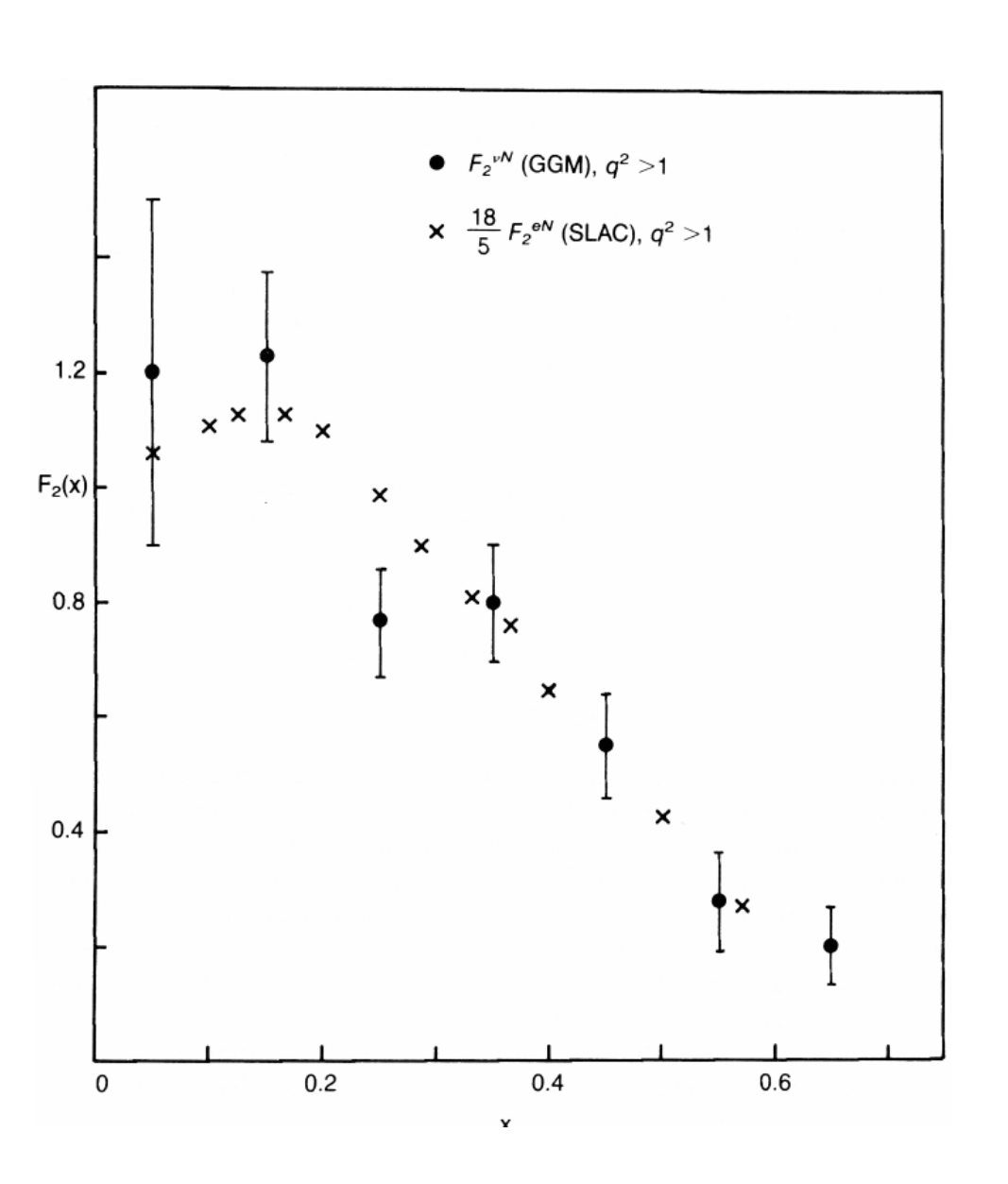
$$2.5 \cdot 10^{10}/m^2$$

- $\bullet \ \nu_{\mu} : \bar{\nu_{\mu}} : \bar{\nu_{e}} : \bar{\nu_{e}} = 1 : 0.056 : 0.007 : 0.002$
- ν_{τ} -fraction: 10^{-7}
- Mean ν_{μ} -energy: 26 GeV

CHARM II @ CERN

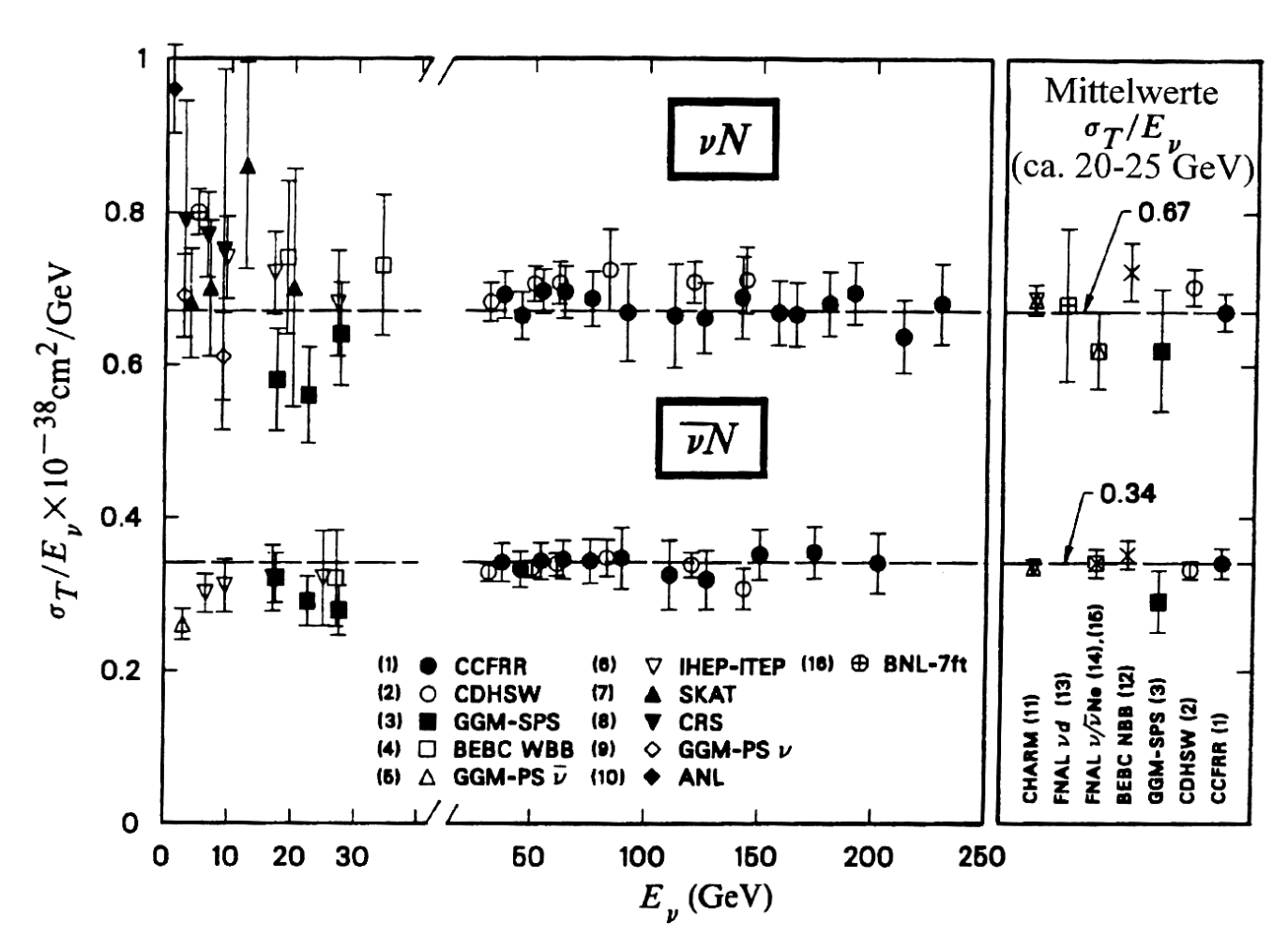


F₂ aus v+N und e+N



F₂ zeigt Faktor 5/18, erwartet für drittelzahlige Quarkladungen

v+N Streuung



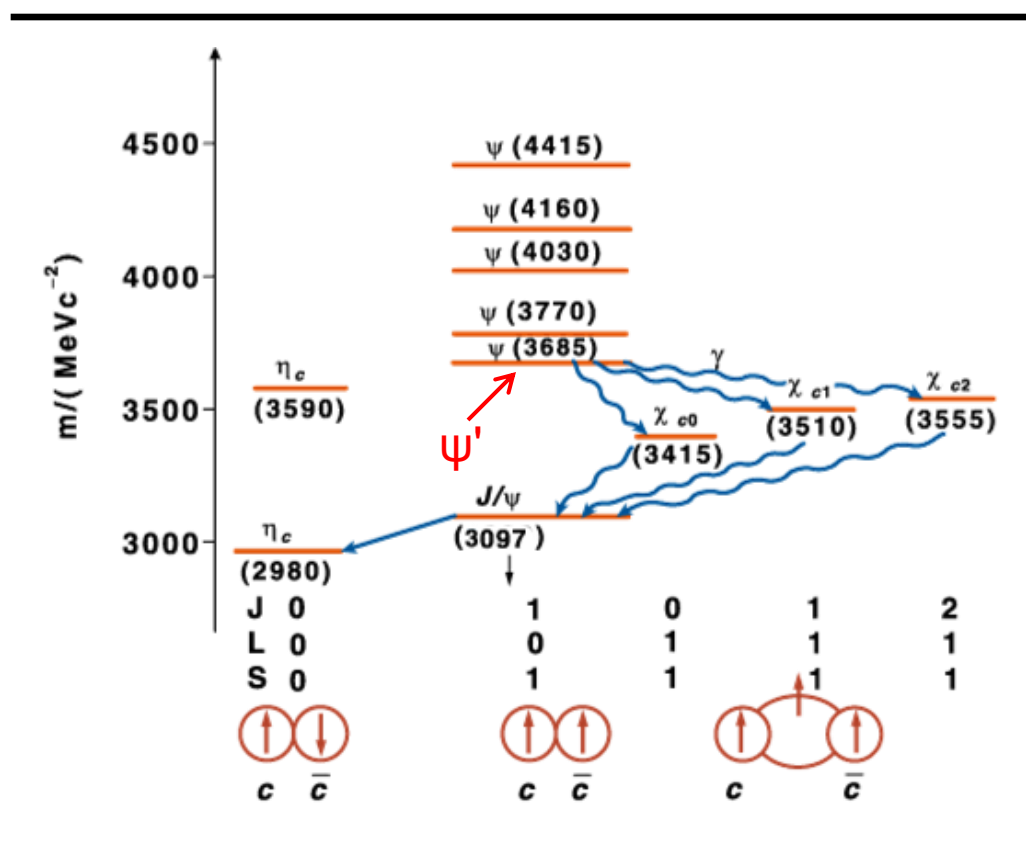
Anti-Neutrino WQ etwa 50% kleiner als Neutrino WQ. Erwartung aus maximaler Paritätsverletzung 1/3 → Hinweis/Sensitivität auf Anti-Quarks im Nukleon

Struktur des Protons – einige Dinge zum Merken

Protonen:

- bestehen aus punktförmigen Teilchen (Konstituenten)
 - → die Strukturfunktionen hängen nur von x ab und nicht von Q²
- bestehen aus Spin-1/2 Konstituenten \rightarrow $F_2(x) = 2x F_1(x)$
- die Zahl der Valenz-Quarks ist 3
 - → folgt insbes. aus der Neutrino-Proton-Streuung
- Valenz-Quarks und See-Quarks tragen nur!! 50% des Proton-Impulses
- Die Impuls-Vtlgn der Valenz-Quarks und der Gluonen wurden experimentell bestimmt – es gibt keine theoretische Vorhersage hierfür
 - → Gluonen tragen einen wesentlichen Teil des Proton-Impulses

Charmonium and the Effective Potential of the Strong interaction

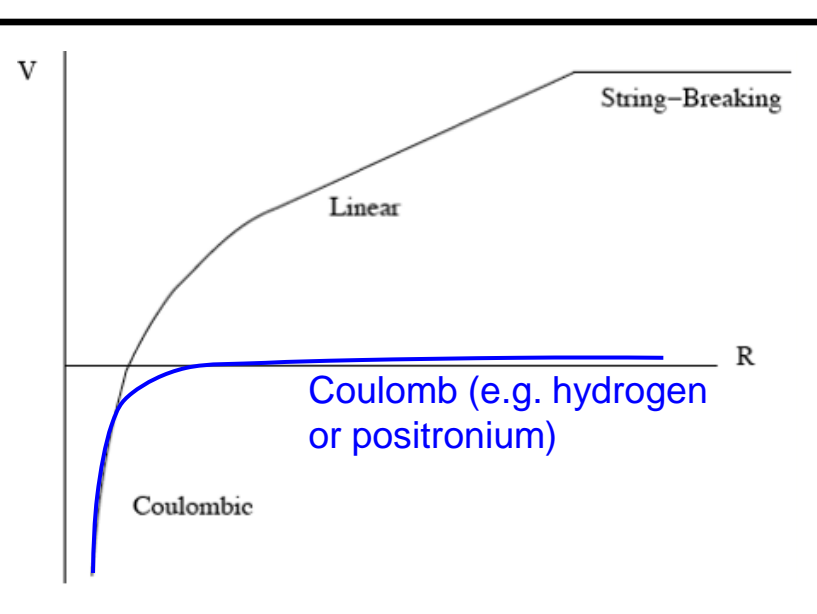


Higher modes of charmonium measured at SLAC (hence called only ψ)

Notation: $\psi(n^{2S+1}L_J)$

J/ψ: Ortho-charmonium 13S₁

η_c: Para-charmonium 1¹S₀

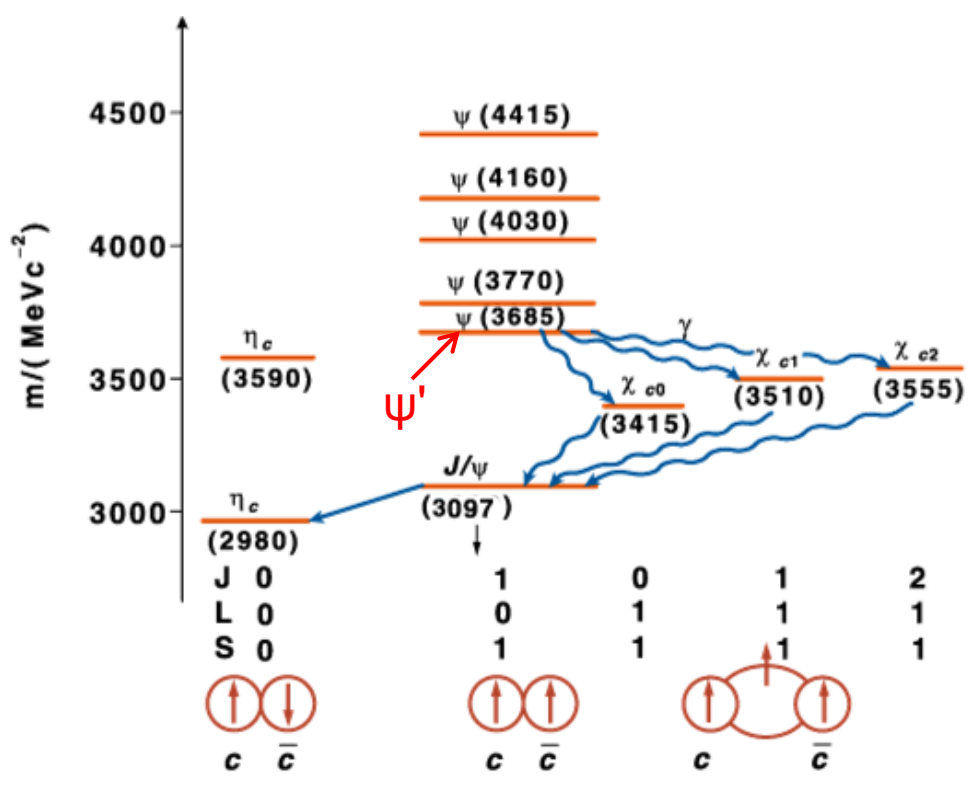


Deviation of the energy levels from Coulomb like behaviour can be explained by linear potential at large *r*.

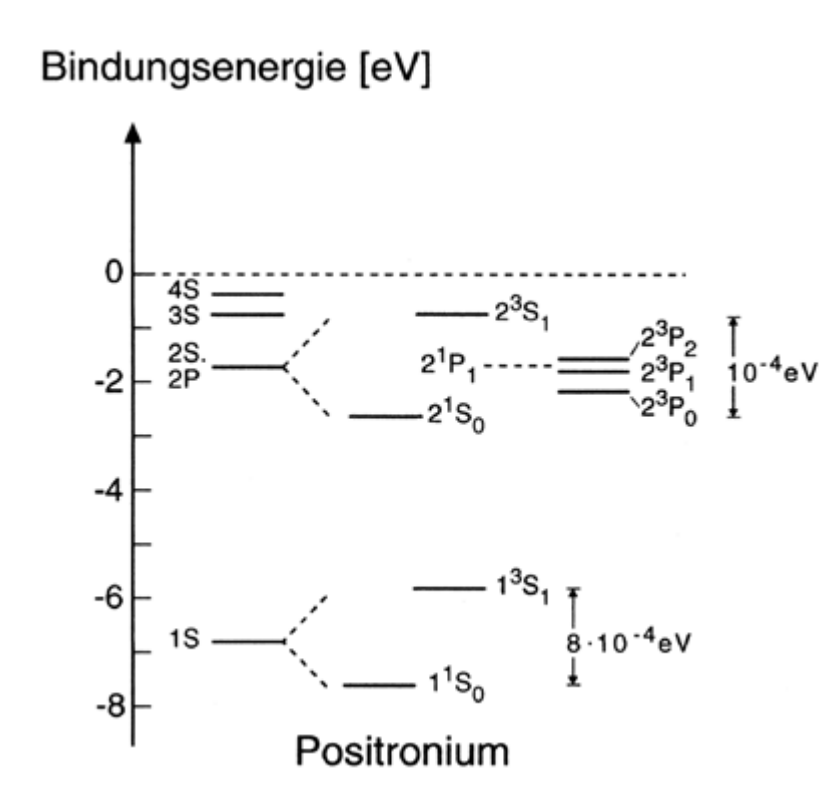
$$V(r) = -\frac{4}{3} \cdot \frac{\alpha_s(r)}{r} + kr$$

Phenomenological QCD potential with string tension k ≈ 1 GeV/fm

Charmonium and the Effective Potential of the Strong interaction



c \overline{c} c \overline{c}			
	J/ψ	χ_c	Ψ
m (GeV)	3.1	\approx 3.5	\approx 3.68
<i>r</i> (fm)	pprox 0.45	pprox 0.70	pprox 0.88



Neutrino-Nukleon-Streuung

- Woher bekommen wir Neutrinos?
- Welche Detektorsysteme kommen dabei zum Einsatz?
- Messergebnisse

Neutrino-Strahlen

Neutrinos aus tertiär-Strahlen ν -Produktions Reaktionen:

•
$$\pi^+ \to \mu^+ + \nu$$

•
$$\pi^- \rightarrow \mu^- + \bar{\nu}$$

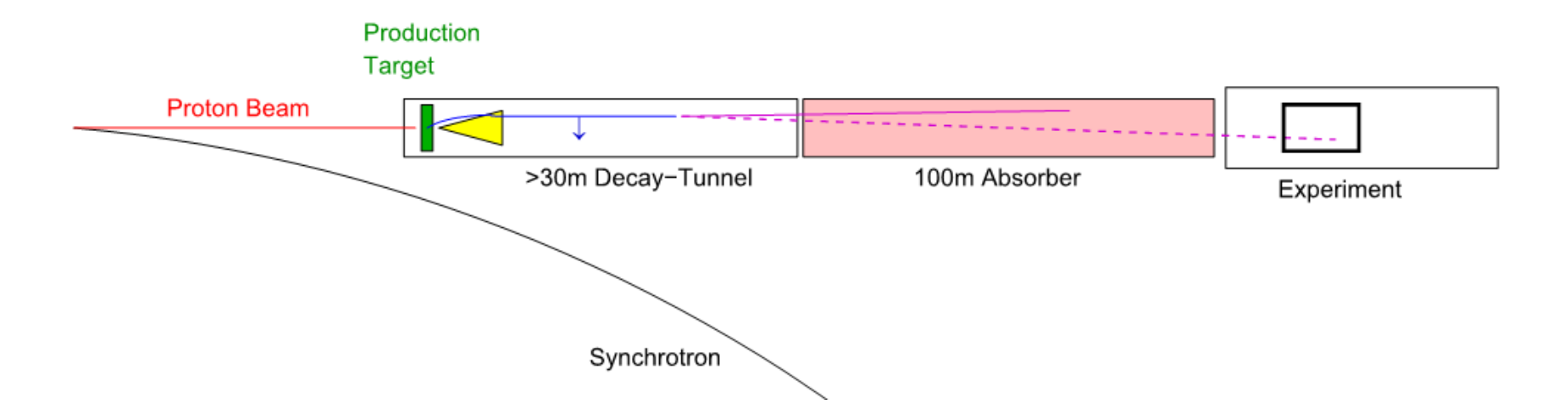
•
$$k^+ \rightarrow \mu^+ + \nu$$

•
$$k^- \rightarrow \mu^- + \bar{\nu}$$

Pionen & Kaonen aus Produktions Target:

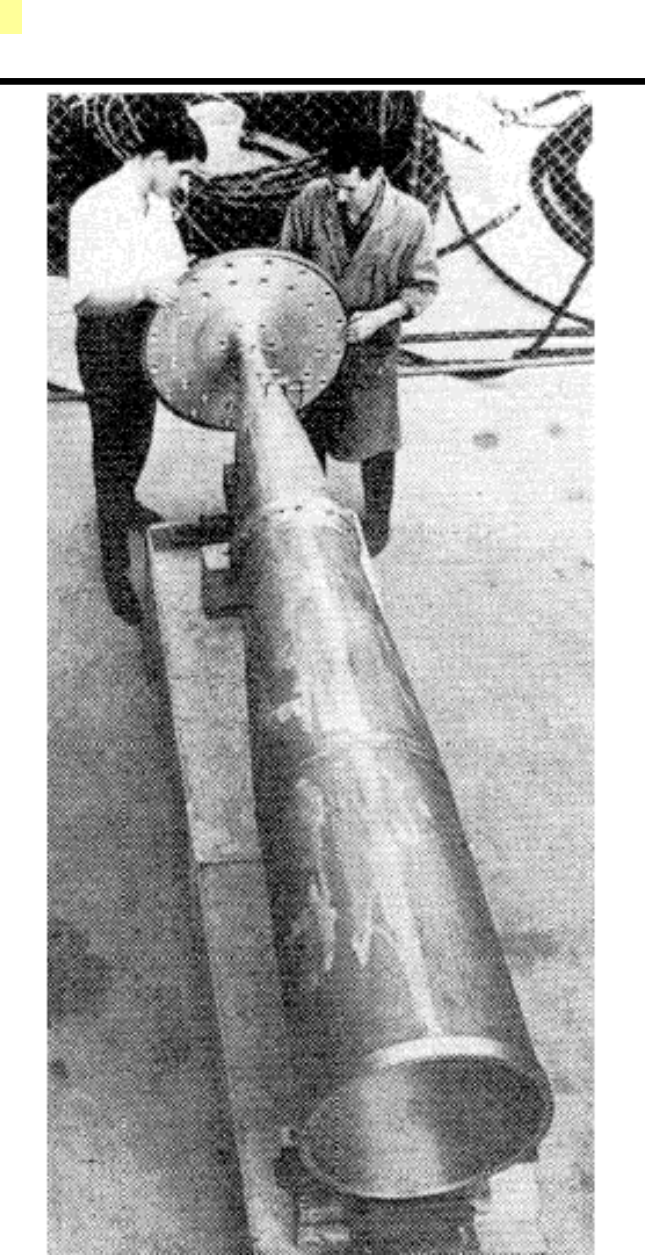
$$p + Be \rightarrow \pi, k$$

Neutrino-Experimente

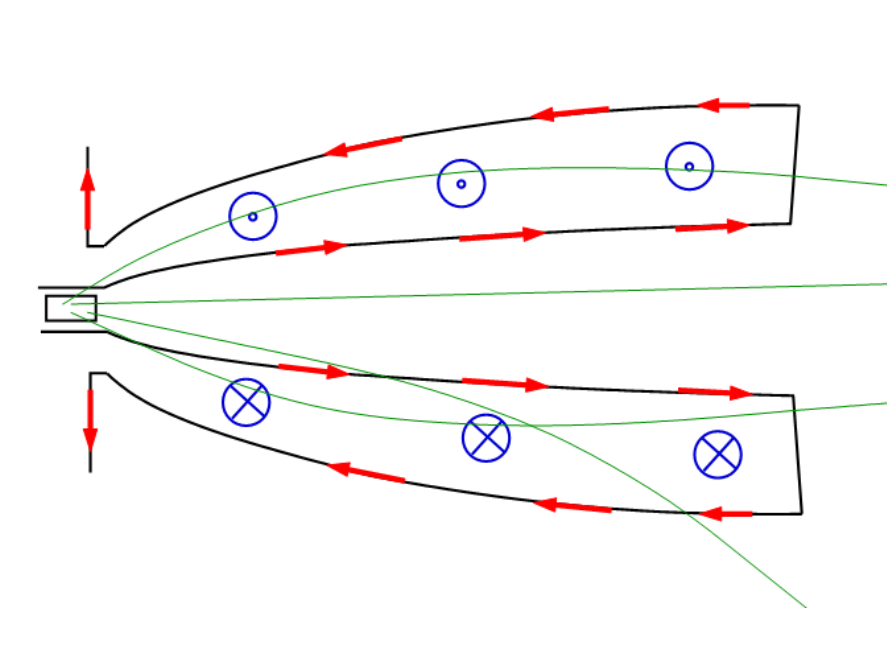


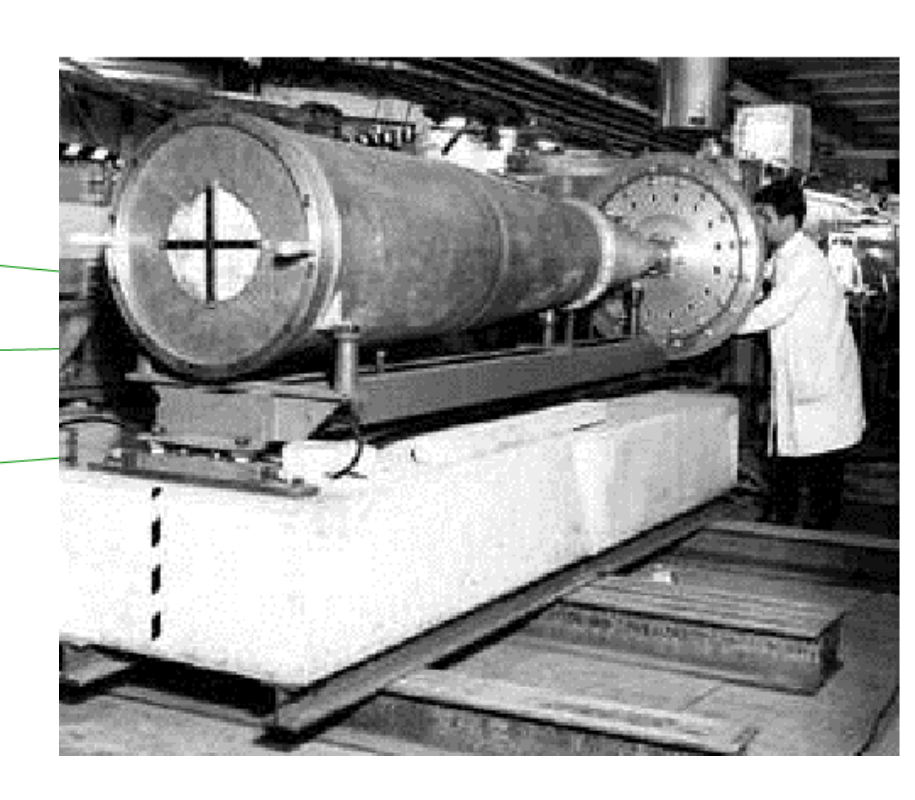
Neutrino-Horn

- Problem: sekundär Teilchen streuen im Produktionstarget stark auf
- dadurch geringe Ausbeute
- Idee (Simon van der Meer CERN 1961): Fokussierung der sekundär Teilchen

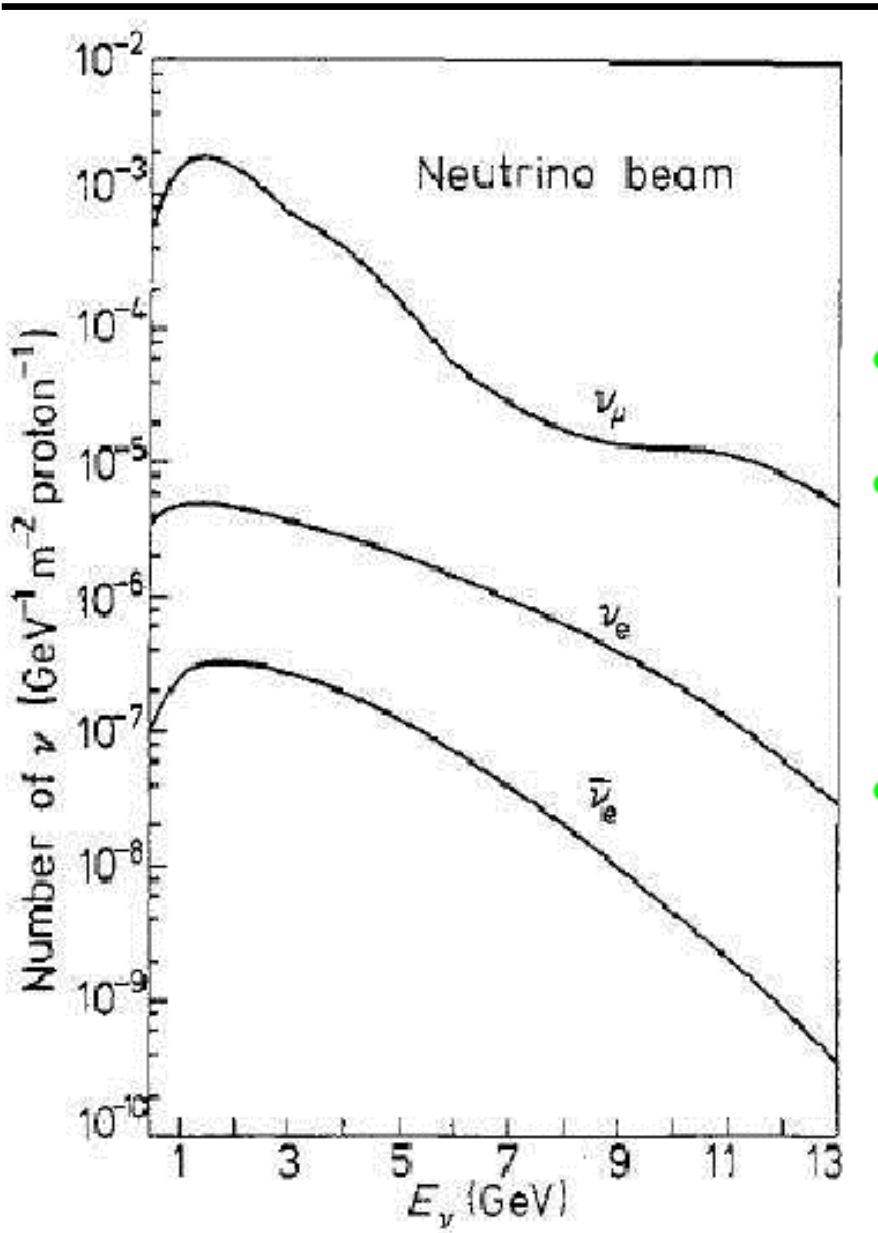


Neutrino-Horn





Neutrino-Spektrum



- Problem: E_ν nicht bekannt
- Kinematik muss allein aus Endzustand rekonstruiert werden!
- auch Vermessung des hadronischen Endzustands

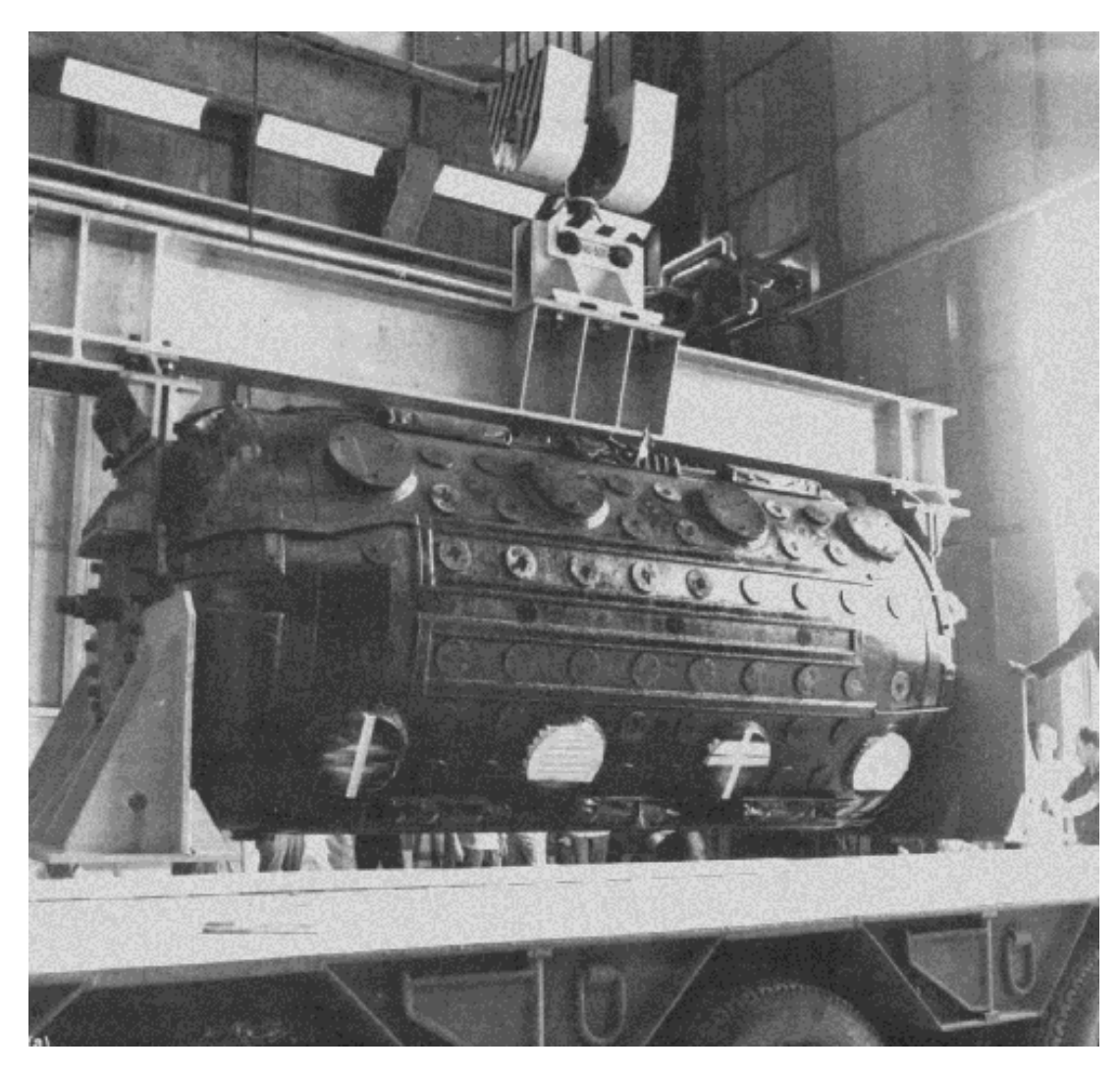
Neutrino-Experimente

Erfassung des hadronischen Endzustandes:

- Blasenkammern
- Kombination: Hadronen-Kalorimeter + Myon-Spektrometer

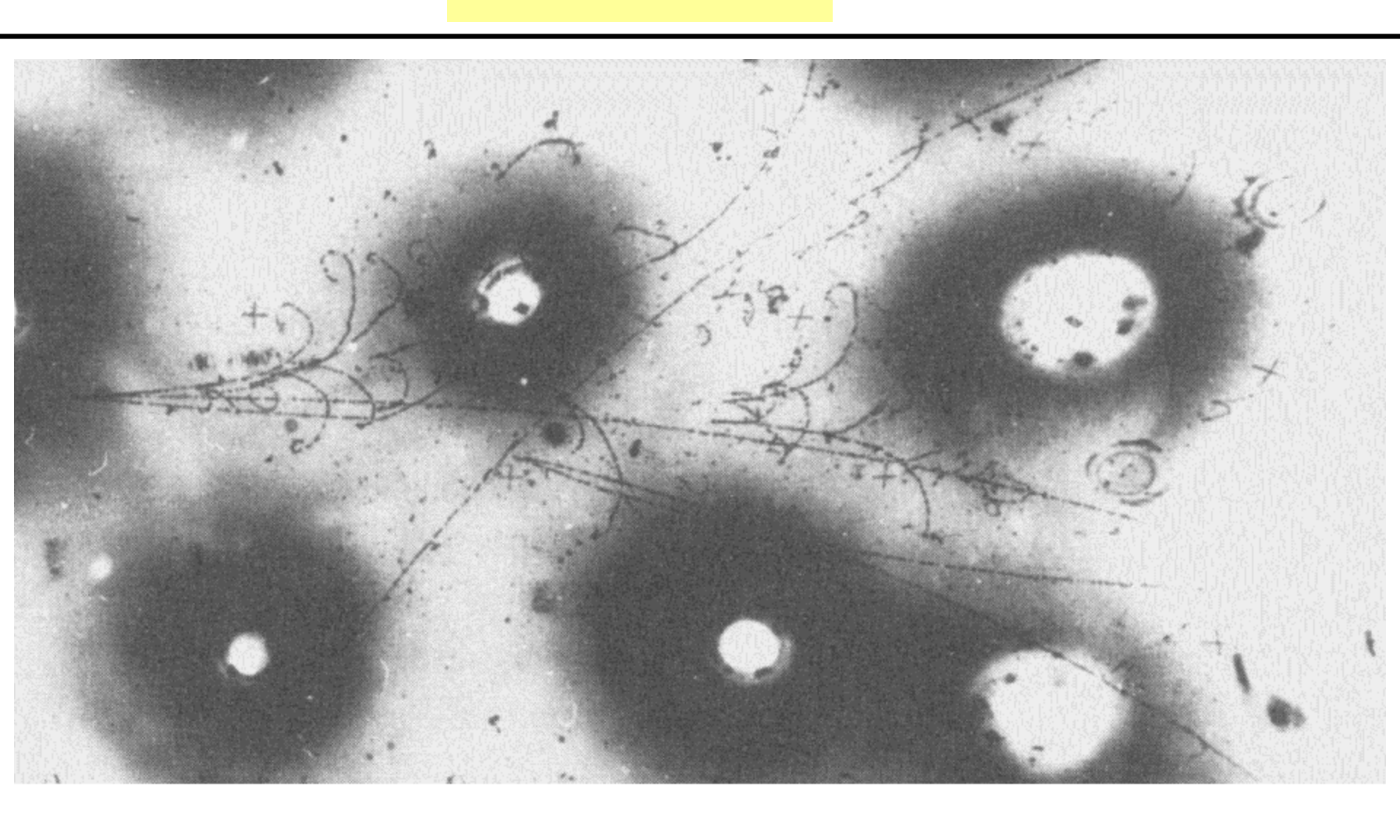


CERN GARGAMELLE

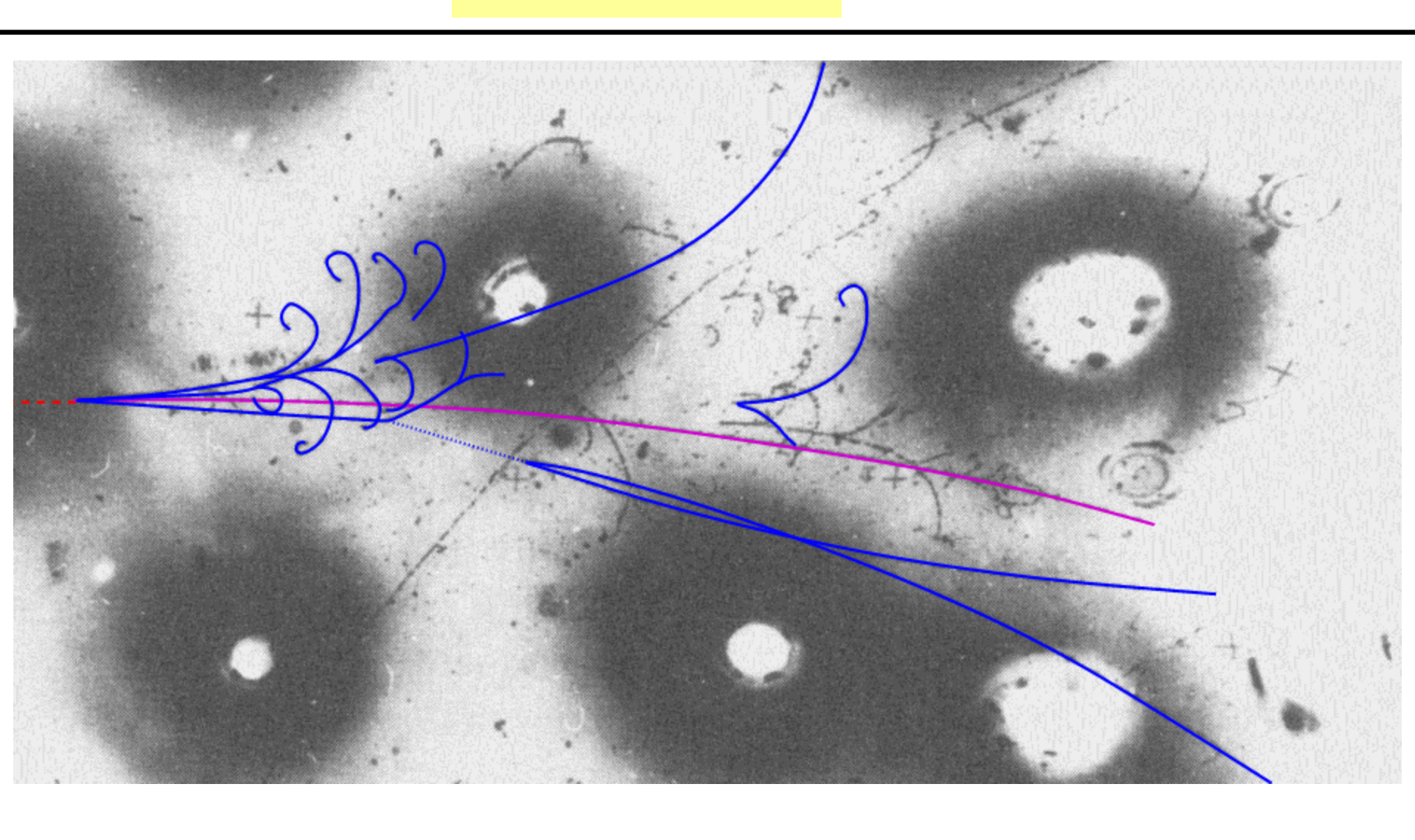


- 6.3 m³ sensitives
 Volumen
- Freon-Füllung:
 CF₃Br
- Magnetfeld: 2T

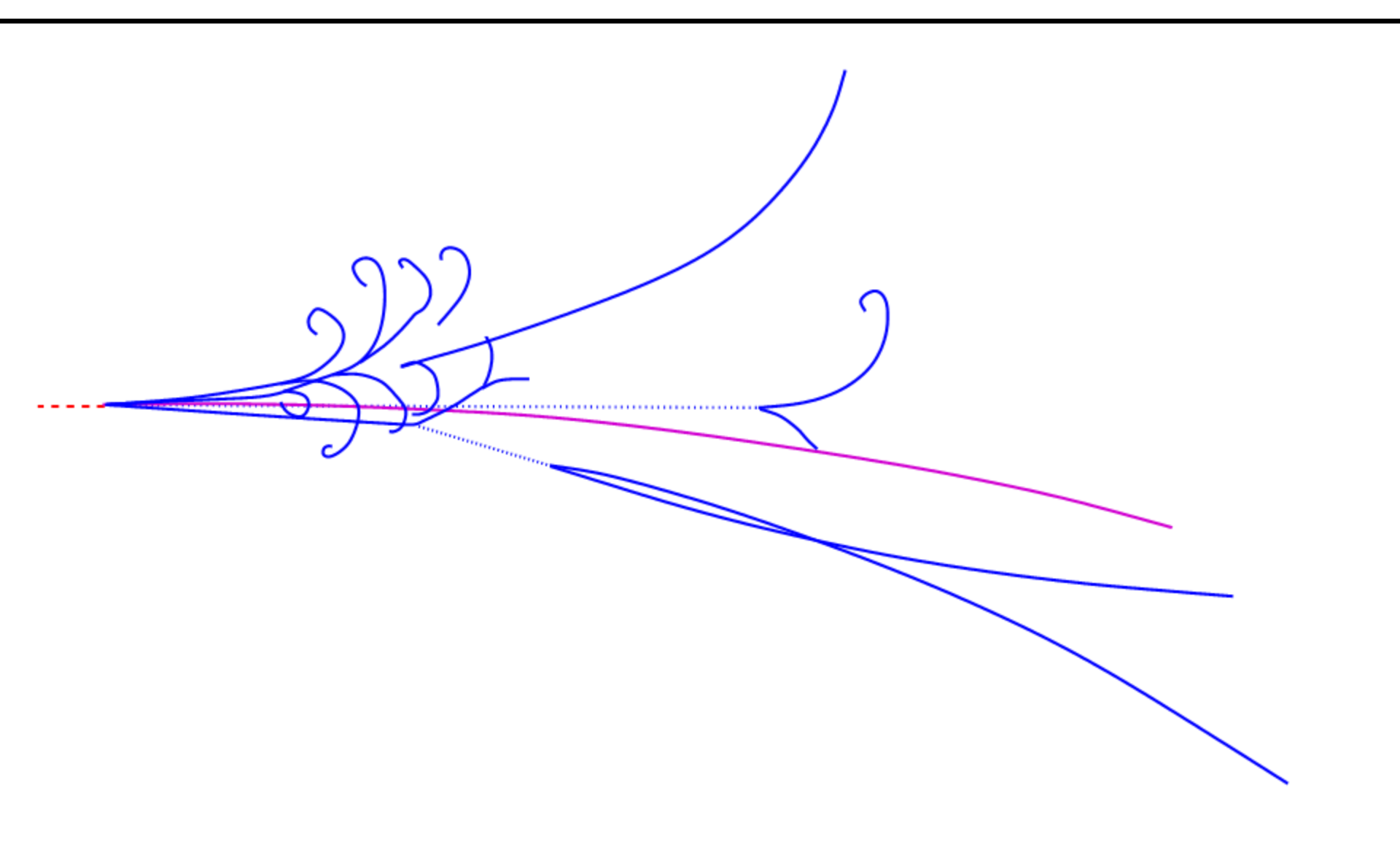
ν - Event



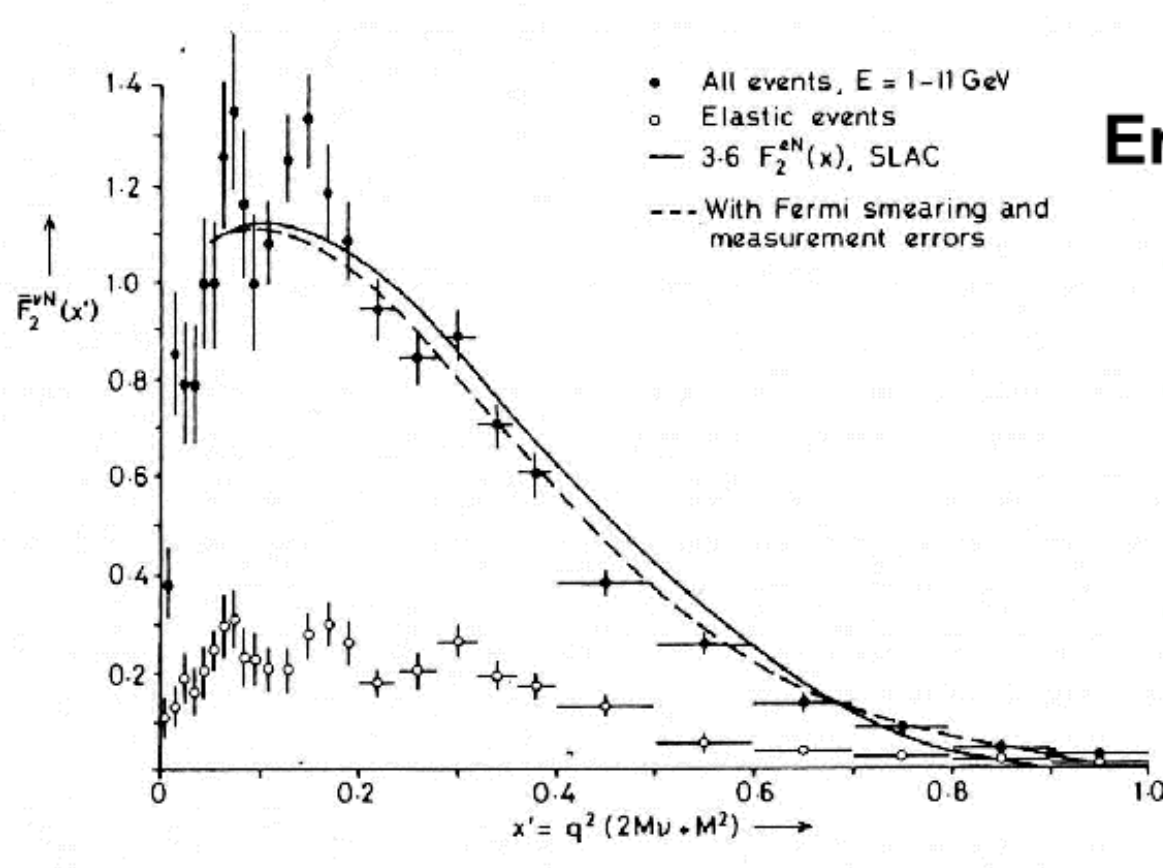
ν - Event



ν - Event



$v - F_2^{vN}$



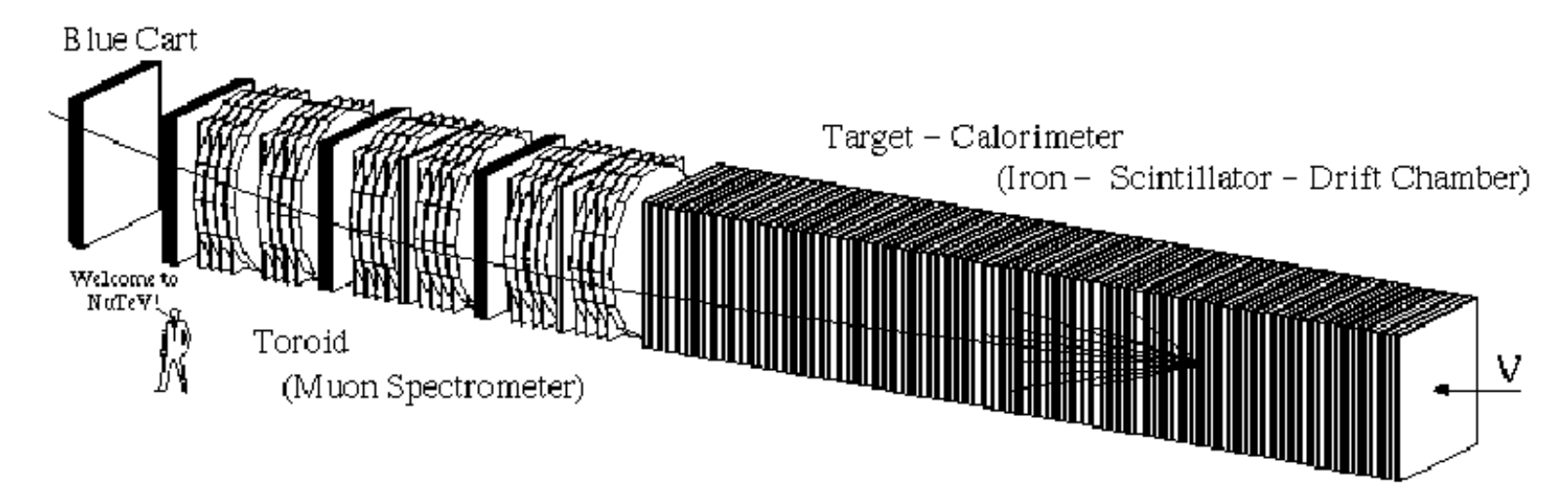
Ergebnisse:

- Scaling bestätigt
- Quark Ladungen:

$$\int F_2^{\nu N} dx = \frac{18}{5} \int F_2^{eN} dx$$

- $\int F_2^{\nu N} dx = 0.52 \pm 0.03$
 - → Gluons!

CCFR: v-Experimente



- 1985, 1987 Fermilab
- Tevatron: 10 GeV < E $_{\nu}$ < 600 GeV
- Target: 690t Stahl und Szintillator

• Sample: $1.8 \cdot 10^6 \nu \ (3.6 \cdot 10^5 \bar{\nu})$ Events

CCFR: Anti-Quark Vtlg

$$\bar{q}(x,Q^2) = \frac{1}{2}[F_2(x,Q^2) - xF_3(x,Q^2)]$$

